## **ІЦЗЧИЧИТ ООГ ЧТЗПТРЗПТТТР ИЧИЧЕСТИ** АКАДЕМИЯ НАУК АРМЯНСКОЙ ССР

**СООБЩЕНИЯ** БЮРАКАНСКОЙ ОБСЕРВАТОРИИ

XXXVI

Финииричины редактор В. А АМБАРЦУМЯН

## М. А. Казарян

## ФОТОМЕТРИЧЕСКОЕ ИССЛЕДОВАНИЕ ТРЕХ ДИФФУЗНЫХ ТУМАННОСТЕЙ

Проведено фотометрическое исследование трех ярких эмиссионных туманностей — NGC 6523, 6514 и 6618 в линии Н<sub>2</sub>. Наблюдения велись на 8"—12" телескопе Бюраканской обсерватории, на пластинках Коdak 103а—Е и с фильтром RG1. Для каждой из этих туманностей были получены соответственно 9, 8 и 4 снимка, но обрабатывались 3, 2 и 3 снимка. Для стандартизации снимались звезды NPS. Измерения почернений проводились на микрофотометре МФ-2 Бюраканской обсерватории с диафрагмой, вырезающей на пластинке площадь размерами 0.15×0.15 мм³ или в угловых мерах 31"×31". Площади измерения соответственно составляют 26'×40', 9'×9' и 14'×23'. Фон каждой пластинки определялся путем измерения фона в окрестности туманности. Характеристические кривые были построены с помощью фотокрасных величин NPS.

Снимки фотокрасных звездных величин NPS в [1] были произведены на пластинке Кодак 103a-E в комбинации с фильтром Wratten № 22. В этой системе  $\lambda_{eff}=6200$  A, а для нашей системы  $\lambda_{eff}=6400$  A. Чтобы построить характеристическую кривую, необходимо было обе системы привести к  $\lambda_{eff}=6565$  A и выравнить соответствующие эквивалентные ширины. Для этой цели использовалось следующее соотношение:

$$m_0 = m_{pr} + 2.5 \lg \pi (R^2 - r^2) - \lg K,$$
 (1)

где  $m_0$  — редуцированная величина,  $m_{\rm pr}$  — фотокрасная величина, R и r внешние и внутренние радиусы внефокаль-

ного изображения, К - коэффициент редукции и имеет вид:

$$K = \frac{p_{\lambda_a} q_{\lambda_a} r_{\lambda_a} s_{\lambda_a} \int_{\lambda_b}^{\lambda_b} I_{\lambda} p_{\lambda} q_{\lambda} s_{\lambda} d_{\lambda}}{p_{\lambda_a} q_{\lambda_b} r_{\lambda_a} s_{\lambda_a} \int_{\lambda_b}^{\lambda_b} I_{\lambda} p_{\lambda} q_{\lambda} r_{\lambda} s_{\lambda} d_{\lambda}}$$
(2)

где  $p_{\lambda}$ ,  $q_{\lambda}$ ,  $r_{\lambda}$  и  $s_{\lambda}$  — коэффициенты пропускания атмосферы, оптики, фильтра и чувствительности пластинки соответственно,  $p_{\lambda}$ ,  $q_{\lambda}$ ,  $r_{\lambda}$  и  $s_{\lambda}$  — те же коэффициенты прием-

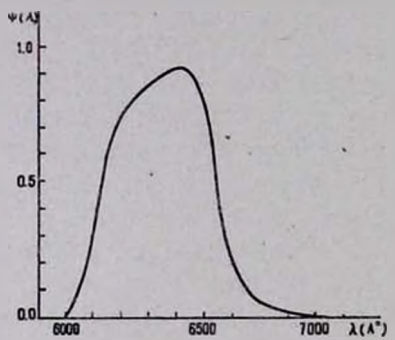
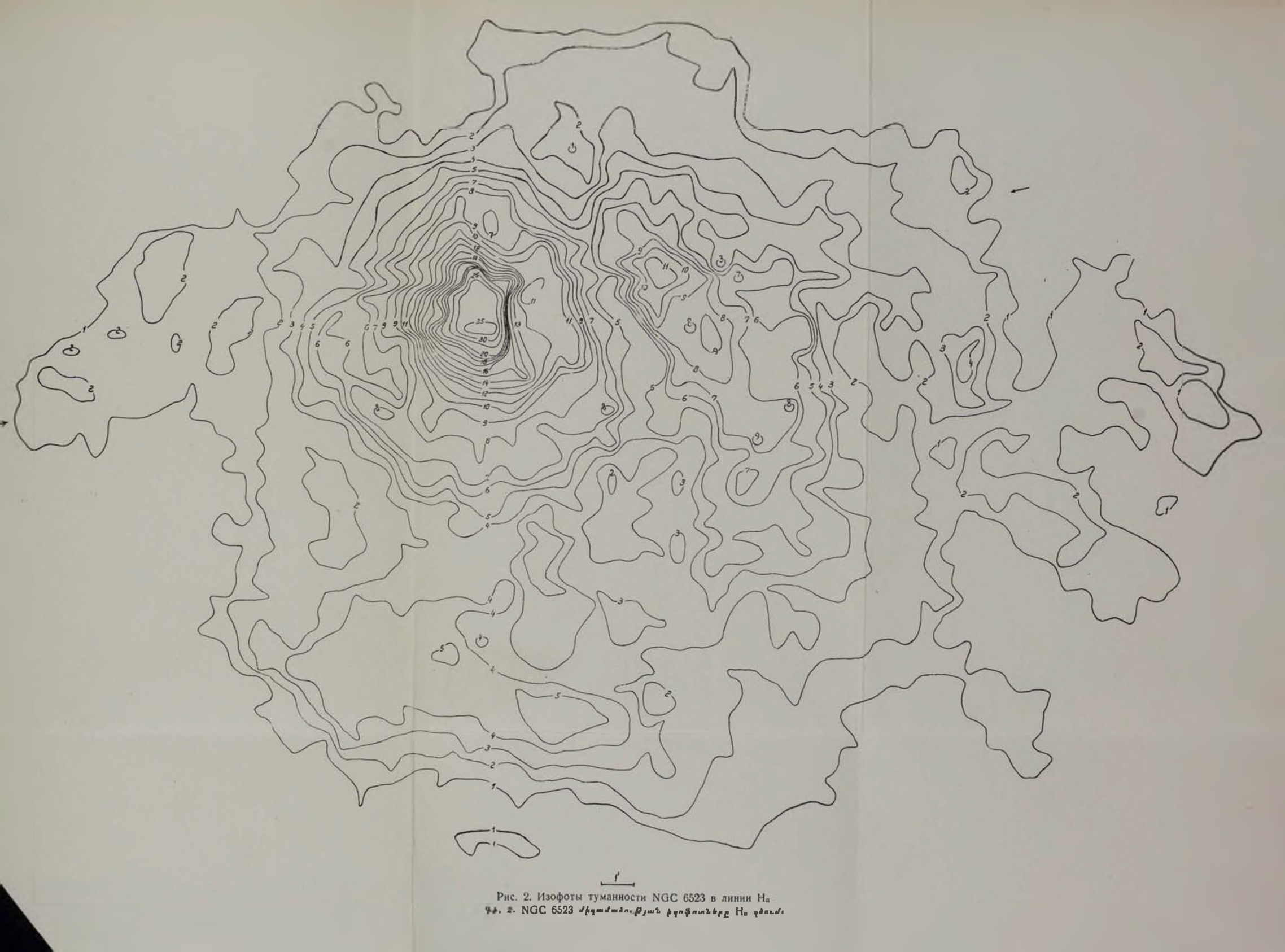


Рис. 1. "Кривая видности" нашей системы. ъц. 1. Մեր ирипъйр «Տեսшեսիլիության կորը»:

ника для стандартных звезд. Поскольку мы не имеем характеристики фильтра Wratten № 22, то использовалась кривая дневной видности глаза [2]. При этом соотношение (1) принимает вид:

$$m_0 = m_{pr} + 2.5 \lg \pi (R^2 - r^2) - [\lg K' - (m_{pv} - m_{pr})],$$
 (3)

$$K' = \frac{v_{\lambda_{\bullet}} \int_{\lambda_{1}}^{\lambda_{2}} I_{i} p_{\lambda} q_{\lambda} r_{\lambda} s_{\lambda} d_{\lambda}}{p_{\lambda_{\bullet}} q_{\lambda_{\bullet}} r_{\lambda_{\bullet}} s_{\lambda_{\bullet}} \int_{\lambda_{1}}^{\lambda_{2}} I_{\lambda} v_{\lambda} d_{\lambda}},$$
(3)



$$\lg K = \lg K' - (m_{pv} - m_{pr}),$$
 (4)

 $v_{\lambda}$  — дневная пропускаемость глаза. Такой коэффициент редукции был использован также в работе [3].

Поскольку туманности наблюдались только в линии На, то можно принять, что оптика полностью пропускает эту линию. На рис. 1 изображена "кривая видности" нашей системы.

С целью представления полученных результатов в абсолютных энергетических единицах путем сравнения с Солицем в дальнейшем, при построении характеристических кривых, были использованы наиболее близкие по спектральному типу к Солнцу звезды NPS.

#### § 1. ИЗОФОТЫ И ИНТЕГРАЛЬНЫЕ ЯРКОСТИ

Для двух туманностей NGC 6523 и 6618 построены изофоты в линии  $H_{\alpha}$ . Поскольку центральная часть туманности NGC 6523 очень яркая, а размеры туманности довольно большие, то, во избежание слияния изофотов, они для центральной части туманности представлены отдельно и в большом масштабе. На рис. 2 и 3 изображены изофоты в произвольных единицах для NGC 6523 и ее центральной части, а на рис. 4 изофоты для NGC 6618.

На рис. 5 и 6 приведены фотометрические разрезы туманностей NGC 6523 и 6618 по направлениям восток—запад, проходящие через самые яркие части туманностей (разрезы отмечены стрелками на рис. 2 и 4).

Для определения интегральной яркости туманностей NGC 6523, 6514 и 6618 измерялись 3, 2 и 3 пластинки соответственно, полученные с различными экспозициями.

Исправление интенсивности  $H_{\alpha}$  за блендировяние запрещенными линиями однажды ионизованного азота 6584 [N II] и 6548 [N II] производилось исходя из следующих соображений.

По наблюдениям Джопсона [4] для периферийных частей диффузных туманностей получается в среднем (из

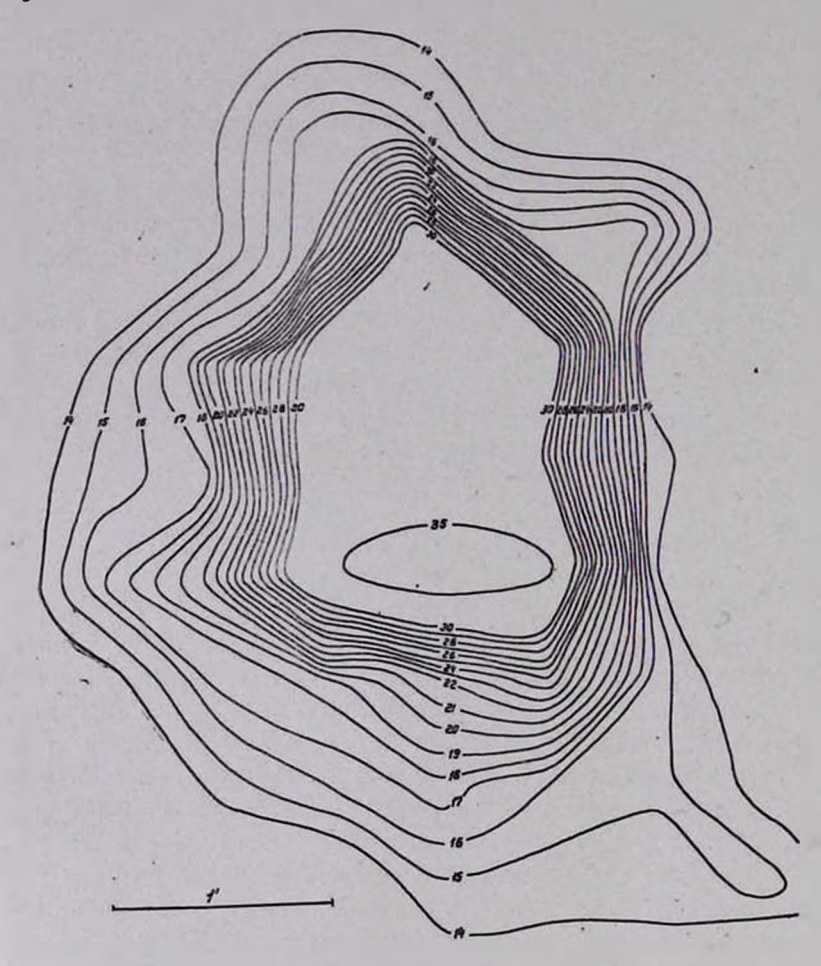


Рис. 3. Изофоты центральной части туманности NGC 6523 в линии  $H_{\alpha}$ .  $\mathfrak{d}_{\mu}$ . 3. NGC 6523 միզամածու $\mathfrak{p}_{\mu}$  կենտրոնական մասի իզոֆոտները  $H_{\alpha}$  գծում։

54 туманностей)  $\frac{E_{6548}+E_{6584}}{\bar{E}_{\rm H_{\alpha}}} \sim$  0.45. Иначе говоря,  $E_{6548}+E_{6584}$  в периферийных частях туманностей составляет около 30% суммарной интенсивности  $E_{\rm H_{\alpha}}+E_{6548}+E_{6584}$ . В работе [5] Г. А. Гурзадяном теоретически было показано, что это отношение остается неизменным и в центральных частях туманностей.

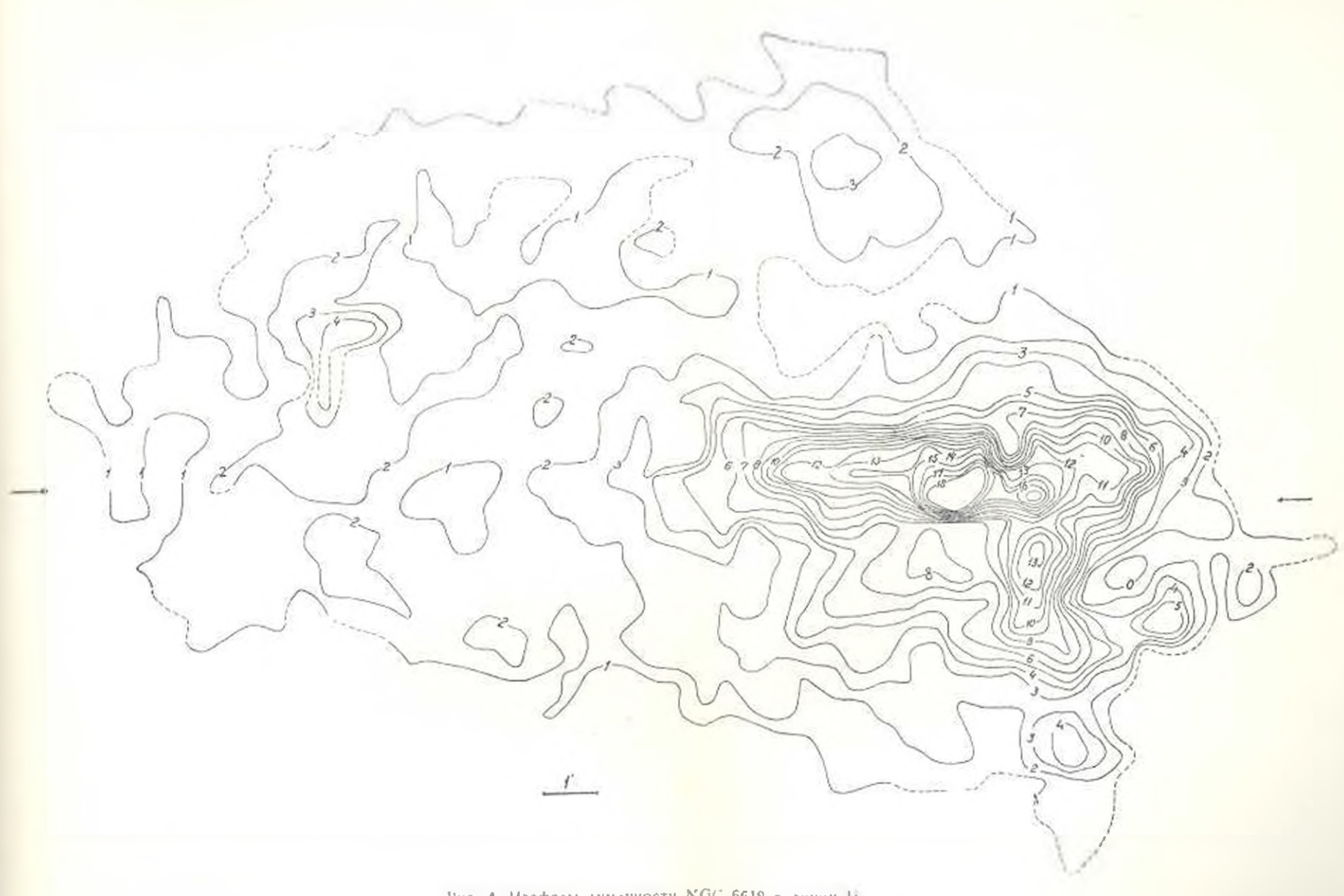


Рис. 4. Изофолы туманности NGC 6618 в линия 11. 48. г. NGC 6618 арашашатыруш разратынар Н- дэлей:

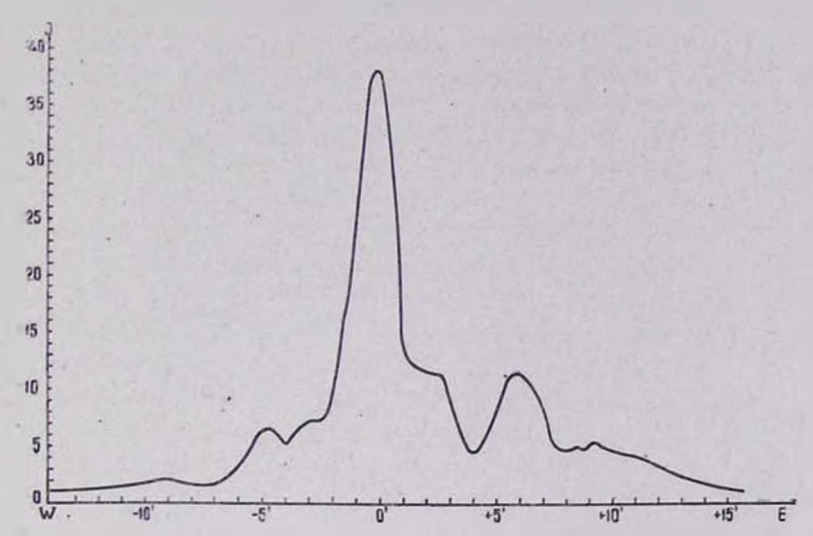


Рис. 5. Один из фотометрических разрезов тум иности NGC 6523, проходящий через направление, отмеченное на рис. 2 стрелками. ъկ. 5. NGC 6523 միզամածության ֆոտոմնարիկ կարվածընկրից մնկը, որը անցնում է եկ. 2-ում արարներով նշված ուղղությածը:

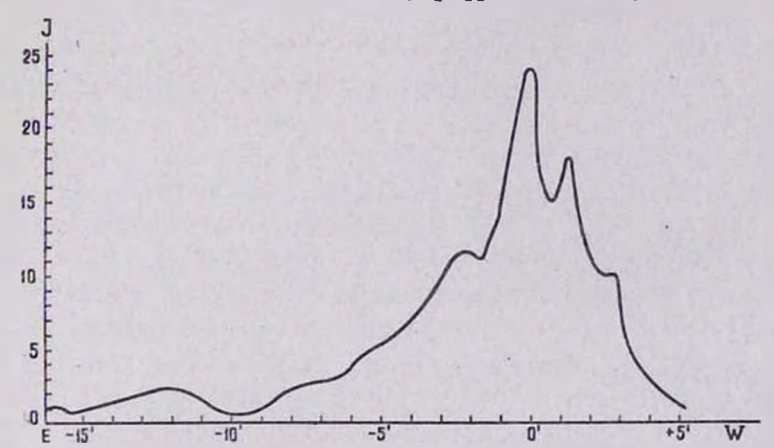


Рис. 6. Один из фотометрических разрезов туманности NGC 6618, проходящий через направление, огмаченное на рис. 4 стрелками. Նկ. 6. NGC 6618 միդամածունյան ֆոտոմնտրիկ կտրվածըներից մեկը, որը անցնում է նկ. 4-ում սլացներով նշված ուղղունյամբ։

Так как туманности и стандартная область снимались на разных зенитных расстояниях, то вводилась поправка за атмосферное поглощение [6, 7]. В табл. 1 приведены исправленые интегральные звездные величины для измеренных туманностей.

			Таблица 1
Туманность	№ пла- стинки	Интеграль- ные звезд- вые величи- ны	Средние интегральные звездные величины
NGG 6593	49a	5 <sup>m</sup> 18	5 <sup>™</sup> 13
NGC 6523	47a	5 08	9 , 19
VCC 6514	49a	7 <sup>m</sup> 59	7 <sup>m</sup> 56
NGC 6514	48a	7 <sup>m</sup> 52	7.50
NGC 6519	476	6 <sup>m</sup> 62	6 m 67
NGC 6618	486	6m 73	007

### § 2. МАССЫ ТУМАННОСТЕЙ

Определение массы туманностей является трудной задачей, поскольку оно связано со знанием их расстояний и пространственной формы. Методы, по которым в большинстве случаев определяют расстояние до туманностей, довольно грубые, а массы, определенные с использованием этвх расстояний, вссьма приблизительны. Более надежным является определение расстояния туманностей по расстоянию скоплений, находящихся внутри них. По определениям Джонсона [8], расстояние скопления NGC 6530, которое, по всей вероятности, находится внутри туманности NGC 6523, равно 1580 парсек.

Для туманностей NGC 6514 и 6618 расстояния были взяты из работ [9] и [10] и соответственно равны 1400 и 1200 парсек. Для более точного определения массы требуется исправление интегральных яркостей за межзвездное поглощение, которое производилось по формуле:

$$A_{l} = A_{v} \frac{\lambda_{v}}{\lambda_{l}}, \qquad (6)$$

где  $A_l$  — поглощение в интересующей нас линии, выраженное в звездных величинах,  $A_v$  — то же самое в линии 5500 А. Согласно фотографическим наблюдениям Уокера [11], для скопления NGC 6530  $A_v$  равно 1 $^{\circ}$ 12. Ввиду того, что NGC 6514 имеет почти те же координаты, что и NGC 6523 и разность расстояний до этих туманностей мала, то значение  $A_v$  для NGC 6514 также бралось равным 1 $^{\circ}$ 12.

Межзвездное поглощение для NGC 6618 учитывалось с помощью окружающих звезд и получилось  $A_v=1$  767. В работе [5] тем же методом было учтено межзвездное поглощение туманности NGC 6618, оказавшееся почти таким же.

При вычислении массы туманности NGC 6523 и 6618 были разбиты соответственно на шесть и четыре зоны, а NGC 6514 рассматривалась как однородная сфера. Зоны являлись фактически проекциями цилиндров в плоскости, перпендикулярной к лучу зрения. Толщины и объемы цилиндров определялись по элементарным геометрическим формулам. Массы туманностей определялись по формуле В. А. Амбарцумяна [12]

$$M = m_{\rm H} \sqrt{\frac{E_{lk}V}{z_k A_{lk}h_{lk}}}, \qquad (7)$$

где  $E_{lk}$  — полная энергия, излучаемая туманностью в водородной линии и выраженная в  $\frac{\partial p_l}{\partial k}$ , V — объем туманности или зоны, а  $z_k$  равно:

$$z_{k} = \frac{n_{k}}{n_{e}n^{+}} = b_{k} \frac{k^{2}h^{3}}{(2\pi mkT_{e})^{\frac{1}{2}}} e^{\frac{\lambda_{k}}{kT_{e}}}, \qquad (8)$$

 $b_k$  — коэффициент, учитывающий отклонение от термодинамического равновесия: для линии  $H_\alpha$ ,  $b_3=0.089$  в случае гипотезы B и при  $T_\sigma=10^4$  [13]. Теперь наша задача сводится к тому, чтобы перейти от поверхностных яркостей, выраженных в звездных величинах, к абсолютным энергетическим единицам, т. е. к эрг/сек см³. Обычно для этой цели используется Солнце в качестве стандарта.

Для получения такого соотношения использованы фотоэлектрическая поверхностная яркость Солнца  $H_{\odot} = -19\,\text{m}.33$ ,
измеренная Стебинсом и Кроном [14] и соответствующая эффективной длине волны  $\lambda$  5560 A, а также усредненная по диску интенсивность в абсолютных энергетических единицах. Фотоэлектрические значения, относящиеся к центральной части Солнца [15], усреднялись по всему диску, согласно [16], и среднее значение получилось равным  $2.1 \times 10^2 \ \text{эрг/см}^2 \ \text{сек}$ . Зависимость между поверхностными яркостями туманности, выраженными в  $\ \text{эрг/см}^2 \ \text{сек}$  ( $S_n$ ) и в звездных величинах ( $H_n$ ), имеет следующий вид [9]:

$$S_n = 0.840 \times (2.512)^{-H_n}$$
 (9)

Это соотношение соответствует интервалу длин волн  $\Delta\lambda=1$  *см*. Возьмем  $\Delta\lambda=1$  A и для удобства прологарифмируем (9), получим следующую формулу:

$$\lg S_n = -5.47 - 0.4 \, H_n. \tag{10}$$

По этой формуле была вычислена суммарная энергия в каждой зоне в отдельности, а затем с помощью (7) масса в них. Полную массу туманности мы получаем путем суммирования массы всех зон (способ A).

Массы рассмотренных нами диффузных туманностей были определены и иначе (способ B). В самом деле, написав (7) в виде

$$M = C\sqrt{LV} \tag{11}$$

и используя известные данные для планетарной туманности NGC 6572, можем составить отношение:

$$\frac{M_i}{M_0} = \frac{\sqrt{L_i V_i}}{\sqrt{L_0 V_0}},\tag{12}$$

где индекс "l" относится к диффузным туманностям, а индекс "0" — к NGC 6572. Для NGC 6572 имеем, согласно Б. А. Воронцову-Вельяминову [17, 18]:  $M_0 = 0.007 \odot$ ,  $m_{\rm H_{I}} = 13\,^{\rm m}5$ , размеры  $13'' \times 16''$ , рассгояние 760 парсек. По этим данным определим  $L_0$  и  $V_0$  и, подставляя их в (12), найдем отсюда массу  $M_l$  интересующей нас зоны или туманности в целом по известному  $L_l$ , который теперь относится к линии  $H_{\rm I}$ .

Чтобы определить звездные величины туманностей NGC 6523 и NGC 6514 в линии  $H_{\tau}$ , были использованы фото-

электрические относительные интенсивности эмиссионных линий, исправленные за межзвездное поглощение, приведенные в работе [19]. Для NGC 6618, за отсутствием таких данных, мы ограничились использованием их теоретических значений.

	Таблица 2
Туманность	E <sub>Н а</sub> (эрг/сек)
NGC 6523	210.40×10 <sup>35</sup>
NGC 6514	17.70×10 <sup>35</sup>
NGC 6618	45.17×10 <sup>33</sup>

В табл. 2, 3, 4, 5 и 6 приведены полученные суммарные эпергии туманностей, вычисленные по способам A и B массы (в единицах массы Солнца), и сравнение наших результатов с результатами других авторов [9, 10, 20—22]. При сравнении были использованы и результаты, полученные радиоастрономическими методами [23, 24].

Таблица 3 Электронная концентрация (см-3) и масса туманности ( $\odot = 1$ ) NGC 6523

Зона	A			B .———
	n <sub>e</sub>	М	$n_{e}$	М
Ядро	290	11	270	10
11	65 60	77 110	60 55	70 100
nii 📗	56	31	55 52	29
IV	44	507	40	455
V	34	524	32	490
VI	26	509	24	465
Суммарная	масса	1769		1619

#### § 3. СРАВНЕНИЕ С РАДИОНАБЛЮДЕНИЯМИ

Сравнение результатов оптических наблюдений диффузных туманностей с данными радионаблюдений позволяет сделать интересные выводы о степени загрязненности туманности пылью и о ее распределении внутри туманности.

Taблица 4 Электронная концентрация (см-3) и масса туманности ( $\odot = 1$ ) NGC 6618

		A		В
Зона	$n_{\varepsilon}$	М	$n_{\rho}$	М
I II III IV	151 136 79 57	16 10 44 137	170 160 93 67	19 12 51 • 160
Суммарн	ая масса	207		242

Таблица 5 Электронная концентрация (см -3) и масса туманности ( $\odot$  = 1) NGC 6514

	A	F	3	
$n_e$	М	$n_e$	М	
92	64	100	70	

Таблица 6 Массы туманностей NGC 6523, 6618, 6514 по определениям разных авторов (⊙ = 1)

	Шайн [20]	Рожковский [10]	Боджес [9]	Гук [21]	Проник [22]	Казарян А и В (сред.)	Малумян [23, 24]
NGC 6523	3200	-	550	_	1780	1690	830
NGC 6618	260	330	1000	515	_	230	660
NGC 6514	-	-	120	-	-	70	_

Дело в том, что излучение обычных диффузных туманностей как в оптическом, так и в радиодиапазоне имеет тепловую природу. Это значит, что при отсутствии пыли в туманности отношение интенсивности какой-нибудь эмис-

сионной линии водорода  $I_{\rm H_I}$  к интенсивности радиоизлучения на какой-нибудь частоте  $I_{\star}$ , для которой  $\tau_{\star} \ll 1$ , должно быть зависящим только от  $T_e$ . Для линии  $H_{\star}$  и в радиодиапазоне от 3  $c_{\star}$  до 32.5  $c_{\star}$ , для которых  $T_e = 10\,000^\circ$  K и  $\tau_{\star} \ll 1$ , например, это отношение равно [25]:

$$\frac{I_{\rm H_2}}{I_1} = 5.65 \cdot 10^{13}.\tag{14}$$

Ясно, что отклонение  $I_{\rm H_a}/I_{\rm v}$  от приведенной величины следует приписать селективному поглощению — либо межзвездному, либо внутри туманности. Обозначая оптическую толщу поглощения среды в линии  $\rm H_{v}$  через  $\tau_{a}$ , для наблюдвемого отношения  $(I_{\rm H_a}/I_{\rm v})_{\rm Ha6}$ . можно написать:

$$\left(\frac{I_{\text{H}_{\alpha}}}{I_{*}}\right)_{\text{HaG}} = 5.65 \cdot 10^{13}. \ e^{-\tau_{\text{H}_{\alpha}}} \tag{15}$$

Если величина отношения  $I_{\rm H_{\alpha}}/I_{\rm v}$ , отклоняясь от теоретического значения, вместе с тем имеет постоянную вели-

чину при переходе от одной точки туманности к другой, то отклонение вызвано межзвездным поглощением. Если же  $I_{\rm H_a}/I_{\star}$  будет меняться в пределах туманности, то отклонение вызвано как межзвездным поглощением, так и поглощением в пределах самой туманности. Ниже эти соображения используются для определения количества и распределения поглощения Н в рассмотренных нами туманностях.

Туманность NGC 6563 была разбита на шесть зон перпендикулярно прямому восхождению. Для каждой из этих

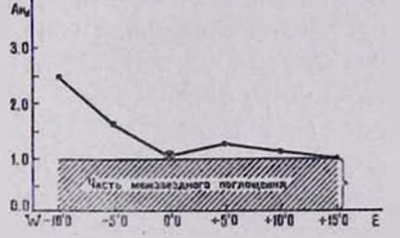


Рис. 7. Распределение поглощения Н₂ в туманности NGC 6523 (крестиком и кружочком соответственно обозначены центры радио-и оптического изофотов).

նկ. 7. H<sub>2</sub> -ի կլանման րաշիվածու-Բյունը NGC 6523 միգամածության մեջ (խաչով և շրջանիկով համապատասխանաբար նչանակվոլ են ռադիո և օպտիկական իզոֆոտների կենտրոնները),

зон были определены потоки излучения в  $H_{z}$  и в радиодиапазоне, на волне 32.5 c.u., данные о котором взяты из ра-

боты В. Г. Малумяна [24]. Затем взяты отношения этих потоков. Полученные результаты нанесены на график (рис. 7) в виде зависимости  $A_{\rm H_a} = 2.5 \lg \frac{I_{\rm H_a}}{I_{\rm r}}$  от r (расстояние от центра оптических изофотов). То обстоятельство, что отношение  $I_{\rm H_2}/I_{\rm *}$ , хотя и не очень сильно, но все-таки меняется в пределах туманности, указывает на наличие в туманности пыли, причем в большем количестве в ее западном краю, где поглощение составляет 2.5, и в меньшей степени в восточном, где поглощение равно 0 94. Согласно спектрографическим наблюдениям Г. А. Гурзадяна [5], поглощение в туманности NGC 6523 получается незначительным, и оно слабо меняется вдоль нее. Ордината нижней точки кривой. очевидно, будет соответствовать межзвездному поглощению: оно равно 0 94. В [24] среднее поглощение получается 2 0. Интересно, что межзвездное поглощение в линии На, выведенное из электрофотометрических наблюдений скопления NGC 6530 [11], получается такое же (0 ... 94), какое получается в центральных и восточных частях туманности (0 т 95).

То же самое было сделено в случае туманности NGC 6618, которая была разбита на восемь зон. Поток в линиц  $H_{\alpha}$  каждой зоны был сравнен с потоком радионаблюдений [25] на волне 3.2 см в соответствующей зоне. Полученные результаты были нанесены на график (рис. 8). Из графика видно, что в этой туманности поглощение в  $H_{\alpha}$  доходит до значительных величин и уменьшается с запада на восток.

Минимальное значение поглощения (1 то 7) почти совпадает с межзвездным поглощением (1 то 4), полученным Г. А. Гурзадяном с помощью окружающих звезд [5]. В [10] сделано более детальное сравнение, и среднее значение поглощения по всей туманности было получено равным 6 то 5, а в отдельных местах достигает до 10 то 0.

Для туманности NGC 6514 не было сделано детального сравнения, так как наблюдения проводились только для ее центральной части. При сравнении интегрального потока NGC 6514 в линии Н<sub>∞</sub> с потоком на длине волны 9.4 см [27]

поглощение в направлении туманности получается 3.2.2. Если сравнивать с потоком на длине волны 32.5 см [24], то получается 4.6. При различных вариантах в [24] получались значения 3.7 и 5.5.

Туманность NGC 6618 является весьма известной и была изучена многими авторами.

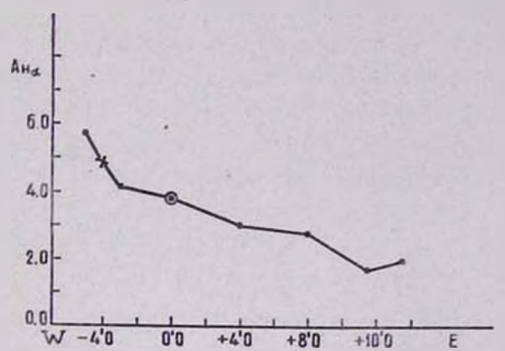


Рис. 8. Распределение поглощения Н₂ в туманности NGC 6618 (крестиком и кружочком соответственно обозначены центры радио- и оптического изофотов).

Նկ. 8. H.-ի կլանման բաշխվածությունը
NGC 6618 միդամածության մեջ (խաչով և
շրջանիկով Համապատասխանարար նշանակվել են ռաղիս և օպտիկական իղոֆոտների կենտրոնները)։

По радионаблюдениям в длинноволновом диапазоне было установлено, что излучение туманности имеет тепловой характер и опровергалось предположение об излучении нетеплового характера.

Согласно наблюдениям [10] и [28] непрерывный спектр в видимом диапазоне образуется при помощи двухфотонного излучения водорода. Поляриметрические наблюдения [29] и [31] показывают нерадиальную поляризацию, а плоскость преимущественных колебаний поляризации составляет угол с плоскостью Галактики приблизительно в 30°. Из анализа вышеизложенных данных следует, что туманность имеет странный физический характер. Чтобы объяснить эти странности, в [10] были сделаны стедующие предположения.

1. Для объяснения нерадиальности поляризации допускается, что группа звезд, которая ответственна за свечение газа и пыли, находится в крайней западной части туманности, например, в темном заливе.

2. В туманности отсутствует светящаяся пыль, непрерывный спектр обусловлен эмиссией водорода, а поляризация

носит межзвездный характер.

По-видимому, первое предположение не совпадает с реальной картиной туманности. Пыль, которая могла бы вызвать столь большую поляризацию, образовала бы и довольно сильный непрерывный спектр, больше, чем могло бы дать двухфотонное излучение (2S-1S). Между тем, сравнение теоретического значения двухфотонного излучения [30] при  $T_{\epsilon}=10\,000^{\circ}K$  дает хорошее совпадение ( $m_{2q}-m_{H_{\alpha}}=2\,^{m}C8$ ) с наблюденным [10].

По спектрофотометрическим данным большой туманности Ориона [32] выяснилось, что внутри туманности имеется пыль.  $70-80^{\circ}/_{0}$  непрерывного спектра получается благодаря рассеиванию излучения пылью и только  $20-30^{\circ}/_{0}$  соответствует 2S-1S излучению. Поляризационные наблюдения [33] показывают радиальную поляризацию и средняя поляризация ее меньше, чем в туманности Омега.

Такую картину показывают многие туманности, даже туманность NGC 6523, в которой содержится незначительное количество пыли (см. рис. 7).

Второе предположение, по-видимому, более реальное. Чтобы доказать, что поляризация NGC 6618 имеет межзвездный характер, была определена так называемая "мера поляризации", т. е. величина поляризации, соответствующая одной звездной величине поглощения в фотовизуальных лучах, как для NGC 6618 и других газоотражательных туманностей, так и окружающих звезд.

Средние величины степени поляризации  $(p_T)$  для ряда туманностей были взяты из работ [29, 34, 35 и 36], а для окружающих звезд — из каталога [37]. Для тех туманностей, у которых не было данных поглощения  $(A_v)$ , было взято максимальное поглощение окружающих звезд из [37] и [26].

Результаты, которые приведены в табл. 7 (где *п*—число окружающих звезд), показывают, что у всех туманностей мера поляризации больше, чем у окружающих звезд, а для NGC 6618 она такая же, как и для окружающих звезд.

Таблица 7

Туманность	Автор	P <sub>T</sub> (°/ <sub>0</sub> )	$\frac{P(m)}{A_p}$	$\frac{\sum \frac{\overline{P(m)}}{A_v}}{n}$	n
NGC 1976	Домбровский	3.5	0.049	0.025	3
NGC 2023	Хачикян	13.0	0.172	0.032	3
NGC 6523	Домбровский	1.4	0.015	0.010	4
NGC 1284	Мартель	4	0.039	0.015	7
NGC 6589		7	0.060	0.023	7
NGC 1333		6	0.080	0.019	4
IC 4601a	2	7	0.047	0.021	1
IC 4601 <sub>11</sub> NGC 6618	(Домбровский	8	0.053	0.021	1
	<b>Рожковский</b>	4.8	0.014	0.013	5

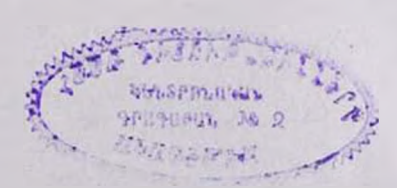
Для туманности NGC 6523 эта разница незначительна, так как сама поляризация небольшая. Кроме туманностей NGC 1333, 1976 и 2023, остальные туманности аналогичны NGC 6618.

Имеющиеся данные говорят о том, что

1 NGC 6618 является чисто газовой туманностью, в которой почти или полностью отсутствует пыль, а непрерывный спектр имеет двухфотонное происхождение.

2. Между нами и туманностью имеется темное облако, которое проектируется на туманность и играет роль поляризатора. Группа звезд, которая ответственна за излучение туманности, по-видимому, находится в туманности, близко к центру радиоизофотов.

Туманность NGC 6523 интересна своей структурой и имеет шарообразный вид довольно больших размеров. В центральных частях (в ядре) с диаметром в четыре минуты (см. рис. 5) плотность туманности в 7—8 раз больше, чем ее средняя плотность. Создается впечатление, что туманность состоит из ядра и оболочки. Такая большая разница между плотностью ядра и средней плотностью оболочки мо-375—2



жет вызвать интересные физические явления, вроде появления ударных волн, тем более, что туманность связана с очень молодым скоплением NGC 6530.

Наблюдаемая интенсивность непрерывного спектра этой туманности приблизительно в два раза больше, чем получилось бы при двухквантовом излучении. Поскольку в туманности содержится некоторое количество пыли, то, вероятно, избыточная доля непрерывного спектра обусловлена пылью.

Выражаю искреннюю благодарность профессору Г. А. Гурзадяну за предложение темы настоящей работы и ока-

занную помощь.

#### v. u. quaursut

### ԵՐԵՔ ԴԻՖՖՈՒԶ ՄԻԳԱՄԱԾՈՒԹՅՈՒՆՆԵՐԻ ԼՈՒՍԱՉԱՓԱԿԱՆ ՈՒՍՈՒՄՆԱՍԻՐՈՒԹՅՈՒՆ

## Ամփոփում

Աշխատանքում բերված են NGC 6523, 6514 և 6618 դիֆֆուզ միգամածությունների լուսաչափական ուսուքնասիրության 
արդյունքները H<sub>a</sub> դծում։ Դիտուքները կատարվել են Բլուրականի 
աստղադիտարանի 8—12" Շմիդտի դիտակով, Kodak 103a—E 
թիթեղի վրա RGI կարմիր լուսադաիչով, որոնց կոմբինացիան 
անջատում է միդամածության H<sub>a</sub> դիծը։ Որպես ստանդարտ 
աստղեր դիտվել են NPS աստղերը:

Որոշվել են հիշլալ միդամածությունների ինտեդրալ պալձառությունները, որոնք համապատասխանարար ստացվել են՝ ձա 13, 7<sup>m</sup> 56 և 6<sup>m</sup> 67:

Օդտագործելով Վ. Հ. Համրարձում լանի՝ միգամածութ լունների դանդվածների համար (11) հայտնի բանաձևը, որոշվել են ուսում-նասիրված միգամածութ լունների զանդվածները, որոնց միջին արժեջները արտահալոված արեգակի ղանդվածով, համապատաս-նսանարսը ստացվել են 1690, 70 և 230։

Մեր կողմից ստացված արդլուն քները համեմատելով NGC 6523 և NGC 6618 միգամածությունների համար ռադիոդիտումներից ստացված տվյալների հետ, հաշված է այդ միդամածություններում լույսի կլանման բաշխվածությունը։ Ստացված արդլուն ընհրից հետևում է, որ NGC 6523 միդամածության մեջ կլա-Նումը քիչ է (տևս նկ. 7), իսկ NGC 6618-ի մեջ հասնում է բավականին մեծ չափի (տես նկ. 8)։

NGC 6514 միդամածության միջին կլանումը Ha-ում 4m 0 մեծություն է։

Հիքնվիլով NGC 6618 միգամածության բևեռաչափական, անընդհատ սպիկտրի, կլանման և միգամածության շրջակալբի աստղերի բևեռաչափական ուսուքնասիրման արդլունքների վրա, արվել է ենթադրություն, որ այդ միգամածության մեջ դրեթե չի պարունակվում փոշի։

Միդամածության կլանումը և ոչ ռադիալ բևհռացումը պալմանավորված է, հավանարար, դիտողի և միդամածության միջև դտնվող մութ ամպով, որը պրոհկավելով միդամածության վրա, ծածկում է նրան։

NGC 6523 միդամածութվան անընդհատ ճառագալթման ինտենսիվութվունը մոտ հրկու անգամ մեծ է երկքվանտ ճառագալթման ինտենսիվութվունից։ Անընդհատ սպեկտրի ավելցուկալին մասը, հավանարար, պալմանավորված է միգամածութկան մեջ պարունակվող փոշով։

#### M. A. KAZARIAN

# THE PHOTOMETRIC INVESTIGATION OF THREE DIFFUSE NEBULAE

## Summary

The results of the photometric investigation in  $H_z$  of the nebulae NGC 6523, 6514 and 6618 are given. The observations have been made with 8-12'' Schmidt camera of the Byurakan Observatory. Kodak 103a-E plates in combinations with RGI filter were used. NPS stars have been used as standarts. The obtained integral magnitudes in  $H_z$  of NGC 6523, 6514 and 6618 are equal to  $5\,\%13$ ,  $7\,\%56$  and  $6\,\%67$  respectively.

The masses of the nebulae (in solar masses) calculated by Ambarzumian's formula (11) are equal to 1690, 70 and 230 respectively.

The interstellar and internebular  $H_\alpha$  absorptions are determined by comparison of our  $H_\alpha$ -observations with radio data.

The absorption in NGC 6523 is negligible (fig. 7) but in NGC 6618 is sufficiently large (fig. 8). The absorption in  $H_a$  in the direction of NGC 6514 is equal to  $4^m$ 0. The data on the polarization, on the continuous spectrum of NGC 6618, on  $H_a$ -absorption in the direction of the nebula and the polarization of the neighbouring stars permit to suggest that the quantity of dust in the nebula NGC 6618 is negligible. The absorption and nonradial polarization of the nebula, probably, are due to dark cloud, which is situated between the observer and the gaseous nebula.

The intensity of the continuous spectrum of NGC 6523 about two times exceeds the intensity of two-photon radiation due to the presence of the dust in the nebula.

#### ЛИТЕРАТУРА

- 1. J. J. Nassau, V. Burger, Ap. J., 103, 25, 1964.
- 2. В. А. Альбицкий и др., Курс астрофизики и звездной астрономии, том I, М.—Л., 1951.
- 3. Ю. К. Гулак, Астрономический журнал, 34, 516, 1957.
- 4. H. L. Johnson, Ap., J., 118, 370, 1953.
- 5. Г. А. Гурзадян, Сообщения Бюраканской обсерватории, 18, 3, 1956.
- 6. Л. В. Мирзоян, Сообщения Бюраканской обсерватории, 7, 1951.
- 7. М. А. Аракелян, Сообщения Бюраканской обсерватории, 21, 1957.
- 8. H. L. Johnson, Ap. J., 126, 121, 1957.
- 9. L. H. Aller, Gaseous Nebulae, London, 1956.
- Д. А. Ражковский. Ю. И. Глушков, К. Г. Джакушева, Изв. Астрофиз. ин-та АН КазССР, 14, 19, 1962.
- 11. M. F. Walker, Ap. J., 125. 636, 1957.
- 12. В. А. Амбарцумян и др., Теоретическая астрофизика, М., 1952.
- 13. Д. Мензел, Д. Бекер и др., Физические продессы в газовых туманностях. ИЛ, М., 1948.
- 14. J. Stebbins and G. E. Kron, Ap. J., 128. 266, 1957.
- 15. Г. Ф. Ситник, ДАН СССР, 110, 193, 1956.
- 16. Л. Унзольд. Физика звездных атмосфер, ИЛ, М., 1949.
- 17. Б. А. Воронцов-Вельяминов, Zs., f. Ap., 12, 247, 1936.
- Б. А. Воронцов-Вельяминов, Газовые туманности и новые звезды, М., 1948.
- 19. J. S. Mathis, Ap. J., 138. 374, 1962.
- 20. Г. А. Шайн и В. Ф. Газе, Известия КрАО, 8, 80, 1952.
- 21. Д. П. Гук. Астрономический журнал, 28, 253, 1951.
- 22. В. И. Проник, Известия КрАО, 23, 3, 1960,

- 23. В. Г. Малумян, Сообщения Бюраканской обсерватории, 31, 3, 1962.
- 24. В. Г. Малумян, Диссертация, 1963.
- 25. Ю. Н. Падийский. Известия ГАО, 21, № 164, 54, 1960.
- 26. C. Sharpless, Ap. J., 116, 251, 1952.
- 27. F. Haddock, C. Mayer, R. Slounker, Ap. J., 119, 456, 1954.
- 28. Г. А. Шайн, С. Б. Пикельнер, Г. Ф. Газе, Известия КрАО. 12, 64, 1959.
- 29. Д. А. Рожсковский, К. Г. Джакушева, Известня Астрофиз. ин-та АН КазССР, 14, 34, 1962.
- 30. S. R. Pottasch, Ann. d'Astroph., 23, 749, 1950.
- 31. В. А. Домб ровский, Астрономический журнал, 35, 687, 1958.
- 32. Г. А. Гурзадян, Сообщения Бюраканской обсерватории, 16, 3, 1955,
- 33. В. А. Домбровский, ДАН СССР, 102, 907, 1955.
- 34. В. А. Домб ровский, ДАН СССР, 105. 924, 1955.
- 35. Э. Е. Хачикян, Диссертация, 1957.
- 36. M. T. Martel, Theses l'Université de Lyon No. d'ordere 230. 1957.
- 37. J. S. Hall, Publication Navel observatory, 17, 1958.



## Г. А. Гурзадян, М. А. Казарян

# ИНТЕНСИВНОСТИ ЭМИССИОННЫХ ЛИНИЙ НЕКОТОРЫХ ПЛАНЕТАРНЫХ ТУМАННОСТЕЙ

Факт изменения интенсивности линии 4363 [OIII] в спектре планетарной туманности IC 4997, по-видимому, является достаточно убедительным [1, 2], чтобы ставить вопрос о систематических определениях интенсивностей эмиссионных линий планетарных туманностей. Для этой цели целесообразно вести наблюдения в первую очередь над спектрами звездообразных планетарных туманностей.

В настоящей заметке приводятся результаты новых измерений интенсивностей эмиссионных линий для шести планетарных туманностей, из которых, по-видимому, две, на основании сравнения со старыми наблюдениями других авторов, могут считаться вероятными "нестационарными" объектами (в смысле изменчивости интенсивности линии 4363 [OIII] в их спектрах).

В табл. 1 приведен список наблюдаемых планетарных туманностей (номера последних трех туманностей приведены по новому каталогу Б. А. Воронцова-Вельяминова [3]), их интегральные звездные величины, а также условия получения спектрограмм. Приведенные в скобках интегральные звездные величины m<sub>п</sub> последних двух планетарных туманностей № 506 и 510 определены нами приблизительно путем сравнения интенсивностей линий H<sub>α</sub> и H<sub>β</sub> в их спектрах с интенсивностью этих же линий в спектре туманности № 505, для которой m<sub>п</sub> известно. При этом предполагается, что все три туманности (которые, кстати, вышли на одной пластинке) имеют приблизительно одинаковый спектральный состав.

Видимые размеры выбранных туманностей порядка нескольких секунд дуги. Все спектрограммы получены на 40" телескопе Шмидта Бюраканской обсерватории с объективной призмой, с одинаковой экспозицией (15 минут) и расширением (с помощью специального автоматического приспособления). Спектрограммы фотометрически были привязаны к звездам типа АО, которые приведены в табл. 1, а калибровка осуществлена с помощью лабораторных фотометрических отпечатков. Микрофотометрические записи спектрограмм сняты на универсальном микрофотометре Бюракянской обсерватории.

Таблица Г

Туман- ность	m <sub>n</sub>	Дата	Звезда сравне- ния	<b>№</b> плас- тинки	Эмульсия
<b>50</b> 6	11.4	6-7.VIII.1962 24-25.XI.1962 6-7.VIII.1962 24-25.XI.1962 6-7.VIII.1962 24-25.XI.1962	HD 164792 AGK <sub>2</sub> +1° 2280 AGK <sub>2</sub> +14° 2071 +15° 2058 +14° 2071 -15° 2058 -14° 2071 +15° 2058	118 121 120 119 242 119 242 119 242	Kodak 103a-F OaO 103a-F OaO 103a-F

Линия 4363 [OIII] при дисперсии нашей объективной призмы, равной 275 А/мм около Н, не всегда была отделена от соседней линии 4340 А (Нт). Только в случае туманности № 510 эта линия была отделена достаточно хорошо. что указывает на малые угловые размеры туманности. В остальных случаях обе эти линии сливаются в одну. Чтобы разделить их для каждой туманности в отдельности был определен декремент бальмеровских линий, т. е. была построена кривая зависимости Н, от номера (длины волны) данной линии. В основном были использованы линии На, На, Н₀, иногда Н₀. В качестве одной из точек этой кривой используется условие на границе серии —  $I_{-}=0$  при  $\lambda=3646$  А-Очевидно, по известному для данной туманности декременту можно определить истинную интенсивность линии Нт. после чего, сравнивая ее с наблюдаемой суммарной интенсивностью линий 4363 [OIII] + H<sub>7</sub>, найдем интенсивность линии 4363 [OIII]. На рис. 1 приведен пример указанной кривой для туманности № 506. Конечно, точность такого определения интенсивности не может быть высокой.

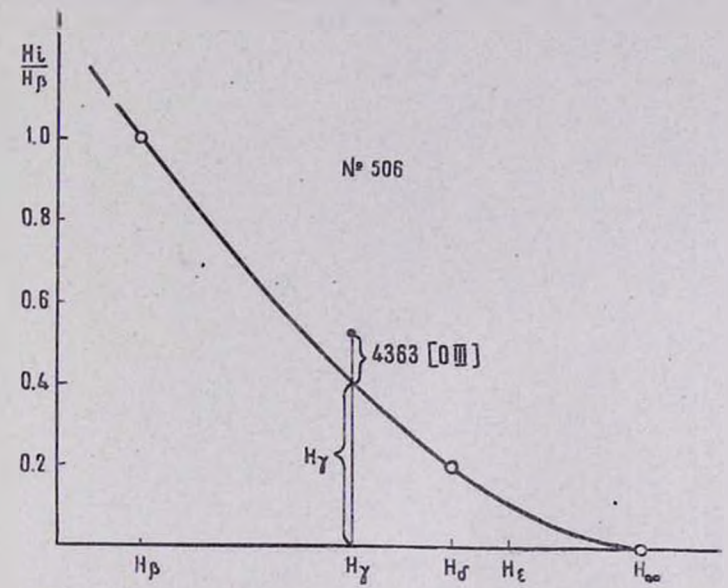


Рис. 1. Пример разделения интенсивностей линий  $H_1+4363$  [0111] графическим способом (туманность № 506). Նկ. 1. Մի նմուշ  $H_1+4303$  [0111] դժերի ինտենակվությունների դրաֆիկական մեթողով բաժանման (№ 506 միդամածության համար)։

В табл. 2 приведены найденные нами относительные интенсивности для указанных в табл. 1 туманностей. Там же приведены более ранние измерения Минковского [4], Аллера [5] и Размадзе [6]. Для трех туманностей впервые была определена относительная интенсивность линии  $H_{\alpha}+[N\,II]$ .

Поскольку для каждой туманности обработано по одной спектрограмме, то трудно оценить вероятную ошибку конечного результата. Чтобы получить некоторое представление об ошибке, вызванной процедурой измерения самих спектрограмм, для одной из них (туманность  $N \ge 510$ ) были сняты и обработаны три микрофотометрические записи. Средняя ошибка в интенсивности при этом оказалась около  $2^{0}/_{0}$ —

Относительные интенсивности эмиссионных линип

Линия	NGC	6537	NCC	6790	NGC	6803	№ 50	5	№ 50	6	№ 51	0
линия	Гурзадян Казарян	Минков- ский	Гурзадян Казарян	Аллер	Гурзадян Казарян	Аллер	Гурзадян Казарян		Гурзадян Казарян	Раз- мадзе	Гурзадян Казарян	Раз- мадзе
$H_{\alpha} + [NII]$	-				1_2		49.5		52	_ 1	53	_
$N_1 + N_2$	i —	179	_	203	_	145	95	100	89	72	113	112
N <sub>1</sub> +N <sub>2</sub> 4861 H <sub>3</sub>	10	10	10	10	10	10	10	10	10	10	10	10
4770 [AL IV]	-			0.29		0.71		3.40				
4711 [AL IV]				0.21		0.62		3.30				
4686 He II	6.30	6.50				0.78			-		0.9	3.40
4634 Ne III	- 2			0.21		0.32						
4542 He I 4471 He I			1 0.00	0.50	0.00	0.00		0.00		1 00	- 10	2.60
4388 He I			0.86	0.56	0.86	0.96	3.1	2.60		1,20		2.50
4363 [O III]	2.20	2.30	1.87	1.40	1.00	0.98	2.77	1.40	1.30	0.58	0.80	1.70
4340 H <sub>7</sub>	2.80	3.10	4.00	4.10	4.53	0.60	3.60	3.50	4.00	4.20	3.86	5.50
4143 He I	2.00	0.10	4.00	1.10	1.00	0.00	0.88	0.93	4.00	4.20	0.00	0.00
4101 Hè	1.40	1.50	1.53	1.80	2.58	2.30	1.62	2.00	1.99	2,10	2.16	4.00
4076 [S1 II]				0.14		0.56	11.02				2.70	110
4069 SI II			100				1.72	1.40				3.20
4026 He I	•	-		0.16		0.30		1.00	1			
3970 H.	2.60	3.10		3.20	4.75	4.80	5.56	3.90	1.61	1,60	2.53	5.20
3967 [Ne III] } 3889 H <sub>ξ</sub>			,		1							
3869 [Ne 111]	3.20 7.50	7.10	7.23	1.00	1 10 7	2.1	1.41	1.90	1.12	1.50	1.22	1.60
3869 [Ne 111] 3835 H <sub>n</sub>	7.50	0.5	0.58	8.60 0.40	} 10.7	9,6 1,40	10.8	9.20			5.37	4.80
3720 [O II]		0.0	0.80	1.30	4.49	4.00	8.4		9.52			1.20

для ярких линий и  $50/_0$ —для слабых (в том числе и для 4363 [OIII]).

Как следует из приведенных в табл. 2 данных, для интенсивностей большинства эмиссионных линий рассмотренных туманностей нет большого расхождения между нашими определениями и данными других авторов. Исключение составляет, по-видимому, линия 4363 [OIII], интенсивность которой у двух туманностей (№ 506 и 510) претерпела заметные изменения. Более наглядно это видно из табл. 3, гле приведены величины отношения  $E_{4363}/E_{\rm H_T}$  для разных периодов наблюдений. В то время, жак относительная интенсивность линии 4363 [OIII] для первых четырех туманностей

Таблица 3 E4363/EH. Туманность 1940 1944-45 1959 1962 NGC 6537 NGC 6790 NGC 6803 0.74 0.78 0.34 0.21505 0.77 506 0.14 0.32510

оказалась почти постоянной в течение по крайней мере нескольких лет, она за три года возросла более чем в два раза в случае туманности № 506 и уменьшилась в полтора раза в случае туманности № 510.

Конечно, по измерениям одной спектрограммы еще нельзя сделать уверенный вывод о реальности изменений интенсивности линии 4363 [ОПП] в той или иной туманности. Однако следует иметь в виду, что для указанных двух туманностей (№ 503 и 510) сильное отклонение наблюдается только в интенсивности линии 4363 [ОПП], в то время как интенсивности остальных линий находятся между собой в хорошем согласии (в особенности в случае № 506). Наконец, обращает на себя внимание резкое падепие интенсивности линии 4686 Не П в 1962 году в сравнении с 1959 годом у туманности № 510, что, согласно интерпретации, дан-

ной в [7], следовало бы ожидать в тех случаях, когда происходит падение интенсивности 4363 [OIII].

Таким образом, несмотря на малочисленность данных, есть некоторое основание считать планетарную туманность № 506 вероятным "нестационарным" объектом в смысле изменчивости линии 4363 [OIII] в ее спектре. В меньшей степени это относится к туманности № 510.

Как показано в [7], изменения интенсивности линии 4363 [ОШ] вызваны изменениями электронной температуры в самой туманности. Изменения же электронной температуры непосредственно связываются с изменением температуры ядра туманности, и это обстоятельство приводится в качестве аргумента в пользу того, что ядра планетарных туманностей в той или иной степени являются нестационарными объектами.

Исходя из этих соображений, мы можем оценить величину изменения электронной температуры за истекций период для туманности № 506 и 510 в предположении, что они не являются объектами с очень высокой электронной концентрацией. Для этой цели были определены величины электронных температур указанных туманностей в 1959 и 1962 гг. методом В. А. Амбарцумяна по известным отношениям  $N_1+N_2/4363$ . Результаты приведены в тябл. 4 (вычисления произведены по формуле, приведенной в [8], стр. 137).

Таблица 4

	№	506	Ne 5	510
	1959	1962	1959	1962
$N_1 + N_2/4363$ $T_e$	138 12 000°	61 16800°	66 16300°	141 12000°

Изменения электронной температуры, как следует из данных этой таблицы, невелики. Еще меньше будут изменения в температуре ядра и, возможно, их нельзя будет уловить непосредственными наблюдениями. При таких условиях

поведение линии 4363 [OIII] может служить в качестве индикатора состояния и степени нестационарности ядра, что было отмечено и раньше [7].

Գ. Ա. ԳՈՒՐՋԱԴՅԱՆ, Մ. Ա. ՂԱԶԱՐՅԱՆ

ՄԻ ՔԱՆԻ ՄՈԼՈՐԱԿԱՁԵՎ ՄԻԳԱՄԵԾՈՒԹՅՈՒՆՆԵՐԻ ԷՄԻՍԻՈՆ ԳԾԵՐԻ ԻՆՏԵՆՍԻՎՈՒԹՅՈՒՆՆԵՐԸ

## Udhnynid

40° Շմիդաի տիպի դիտակի վրա (օրկհկտիվ պրիզմալի կոմրինացիալով) ստացվել են սպեկտրներ վեց աստղանման մոլորակաձև միգամածությունների համար։

Ալդ միդամածությունների Էմիսիոն դծերի ինտենսիվախյունները համեմատելով Մինկովսկու [4], Ալլերի [5] և Ռազմաձելի [6] նախկինում կատարված չափունների հետ № 506 և 510 միդամածությունների համար ստացվել է 4363 [OIII] գծի ինտենսիվության էական փոփոխություն (աղյուսակ 3)։ [7, 8] աշխատանըներում այս երևուլթը բացատրվում է միդամածությունում էլեկտրոնալին ջերմաստիճանի փոփոխմամբ։ Վերջինի փոփոխությունը միդամածության կենտրոնական աստղի ջերմաստիճանի փոփոխոս

#### G. A. GURZADIAN, M. A. KAZARIAN

# THE INTENSITES OF THE EMISSION LINES OF SOME PLANETARY NEBULAE

## Summary

The spectrogramms for six stellar-like planetary nebulae were obtained by 40" Schmidt telescope with the combination of the objective prism. Comparing emission line intensities for these nebulae with the early measurements by Minkowski [4], Aller [5] and Razmadze [6] the essential changes in 4363 [O111] line intensity were found for two objects —  $N_2$  506 and 510 (Table 3). This phenomenon is explained [7, 8] as a result of variations of the electron temperature of the nebula and the last — by variations of the temperature of the nucleus.

#### ЛИТЕРАТУРА

- 1. L. Aller, W. Liller, Sky and Telescope, 18, 222, 1957.
- 2. Б. А. Воронцов-Вельяминся. Астрономический журнал, 37, 994, 1960.
- 3. Б. А. Воронцов-Вельяминов, Сообщения ГАНШ, № 118, 1962.
- 4. R. Minkowski, Ap. J., 95, 243, 1842.
- 5. L. Aller, Ap. J., 113, 125, 1951.
- 6. *Н. А. Размадзе*, Астрономический журнал, 37, 1005, 1960.
- 7. Г. А. Гурзадян. Астрономический журнал, 35, 526, 1958.
- 8. Г. А. Гурзадян, Планетарные туманности, Москва, 1962.

## А. Т. Каллоглян, Г. М. Товмасян ЯДРА ГАЛАКТИК С ПЕРЕМЫЧКОЙ

Вопрос о роли ядер в эволюции галактик становится в. последние годы все более актуальным. В настоящее время накопилось достаточно наблюдательных данных, свидетельствующих в пользу выдвинутой В. А. Амбарцумяном [1] иден об активности ядер галактик. Так, в NGC 4486 мы непосредственно наблюдаем выброс сгустка материи из ядра галактики, что сопровождается интенсивным радиоизлучением. Взрыв в М82 прямо указывает на активные процессы, имеющие место в ядре этой галактики. Об активных процессах, происходящих в ядрах галактик, свидетельствует также и наблюдаемое истечение газа из ядра МЗ1 и нашей Галактики. Далее, радиоразмеры ряда галактик значительно меньше их оптических размеров, показывая тем самым, что радиоизлучение в этих объектах связано с их ядрами. Наконец, следует упомянуть еще о радиоисточниках типа 3С48. где, по всей вероятности, мы имеем дело со сверхъядрами.

Хотя в настоящее время активная роль ядра в жизни галактики не вызывает сомнения, однако исследования более или менее массового характера, относящиеся к ядрам галактик, пока отсутствуют. Несомненный интерес представляет поэтому определение яркостей и показателей цвета ядер галактик различных типов, начатое в Бюраканской астрофизической обсерватории. В настоящей работе, составляющей часть этого исследования, приводятся результаты фотометрического и колориметрического исследования ядер 50 галактик с перемычкой всех четырех подтипов от SBO до SBc с известными радиальными скоростями и видимыми величинами ярче 13<sup>т</sup>.

## § 1. МЕТОДИКА НАБЛЮДЕНИЙ И ИЗМЕРЕНИЙ

Наблюдательный материал был получен на 21-21" телескопе системы Шмидта Бюраканской обсерватории (масштаб —114" на 1 мм). Наблюдения велись в синих лучах на пластинках "Агфа астро платтэн" без фильтра и в оранжевых лучах на пластинках "Кодак Оа-F" в комбинации с фильтром ОG-1. Наша цветовая система определяется уравнением  $Cl_{int}=0.8$  Cl, где Cl— показатель цвета в нашей системе.

В синих лучах для большинства ядер получено по одной пластинке с привязкой к фокальным изображениям звезд Северного полярного ряда. Для нескольких ядер получены вторые снимки, посредством которых определена ошибка измерений в  $\pm 0$  2. Вводилась поправка за атмосферное поглощение.

На каждой пластинке, согласно методике, разработанной в Бюракане, получалась цепочка из 3—4 изображений галактики. Последовательные экспозиции отличались другот друга в 1.5, а иногда в два раза. Наименьшая экспозиция выбиралась так, чтобы изображение центральной части имело предельно слабое почернение. На другой пластинке с теми же экспозициями получалась последовательность снимков Северного полярного ряда. После этого изображения центральных частей сфотографированных нами галактик оценивались по пятибалльной системе.

Оценка 5 дается в тех случаях, когда присутствует ядро, изображение которого почти не отличается от изображений звезд, по крайней мере на двух последовательных экспозициях. Существует заметная разница между яркостями ядра и фона, который в некоторых случаях начинает выявляться только на снимках с большой экспозицией.

Оценка 4 относится к случаям наличия звездоподобных ядер, изображения которых все же несколько отличаются от изображений звезд. Они, как правило, имеют более слабое почернение. Яркость ядер с оценкой 4 еще весьма заметно превышает яркость фона.

Галактики, ядра которых невозможно выделить на фо-

не их сильного центрального сгущения, оценены 3. Изменение размеров изображения центральной части таких галактик при переходе от одной экспозиции к другой совершенно отлично от хода изменения размеров изображений звезд. Наличие сильного сгущения указывает на существование ядра, которое, однако, не выделяется.

Те случаи, когда в центральных частях на фоне перемычки имеется малозаметное сгущение, подчас неправильной формы, оценены баллом 2. В этом случае наличие слабого ядра можно считать возможным.

Баллом 1 оценены те галактики, в центральных частях которых нет следов какого-либо сгущения даже на изображениях с предельно малой экспозицией, где все еще заметна почти целиком вся перемычка. Возможно, что в таких случаях ядро вообще отсутствует.

Можно полагать, что в случае галактик с оценкой 3, а иногда и галактик с оценкой 2, на крупномасштабных снимках возможно будет выявление звездообразных ядер из-за ослабления почернения фона. Однако очевидно, что яркие звездообразные ядра могут выявляться также на снимках небольшого масштаба, сколь бы малы не были размеры самих ядер.

После оценки галактик по пятибалльной системе у галактик с оценкой 4 и 5 на микрофотометре МФ-2 измерялась звездная величина звездообразного ядра. Звездные величины ядер с оценкой 4 и 5, измеренные по двум последующим экспозициям, отличались друг от друга на 0 т. 1 — 0 т. 2. Для других галактик глазомерно оценивалась нижняя граница звездной величины возможного ядра, причем в случае галактик с баллом 3 эта оценка по двум последовательным экспозициям одной и той же галактики отличалась больше чем на 0 т. 5. Это являлось надежной проверкой корректности выявления и, следовательно, определения яркости звездообразных ядер с оценками 4 и 5.

В оранжевых лучах получены снимки 13 из 14 галактик с оценками 4 и 5. Колоримстрическое исследование для ядер осгальных галактик не проведено, поскольку уже в

синих лучах для них возможно было получение только верхних пределов их яркости.

Здесь следует отметить, что при определении звездных величин ядер возможна систематическая ошибка, обусловленная тем, что в качестве стандартов использованы фокальные изображения звезд, тогда как изображения звездообразных ядер несколько отличаются от изображений звезд. Однако эта систематическая ошибка не должна сильно сказаться на показателях цвета, поскольку она действует одинаковым образом как в фотографических, так и в визуальных лучах.

Измерению звездной величины ядра мешает наложение на него фона центральных частей галактик. Нами сделяна попытка хотя бы грубого учета этого фона. Иск ючение фона нами производилось следующим образом. В случае галактик с оценкой 1 ядро, если оно есть, настолько слабо по сравнению с фоном, что наложение его излучения не вызывает увеличения яркости фона, и мы не замечаем в центральной части галактики даже слабого сгущения, как в случае галактик с оценкой 2. Полагая, что суммарная яркость фона и ядра (при заданном диаметре звездообразных изображений на пластинке) может превышать не более чем на 0 т 3 (что на 0.1 выше ошибок определения яркости) измеренное значение яркости в центральной области галактики, мы получаем, что яркость изображения самого ядра должна быгь, по крайней мере, на 1 5 слабее измеренного значения. В случае галактик с оценками 4 и 5 мы имеем обратную картину. Здесьяркость фона настолько слаба по сравнению с яркостью ядра, что на изображениях центральной части галак: ики полученных с маленькими экспозициями, фон не чунствуется. По аналогии с галактиками с оценкой 1 мы можем заключить, что в случае галактик с оценками 4 и с интегральная яркость фона должна быть хотя бы на 1 ... 5 слабее суммарной яркости изображения ядра и фона и, следовательно, звездные величины ядер могут быгь не более чем на 0 т 3 слабее непосредственно измеренных значений В некоторых случаях фон может быть настолько слаб, что измерения. практически будут относиться к одному только ядру.

Интересно заметить, что в фотографических лучах средняя поверхностная яркость фона в центральных частях галактик, с оценками 4 и 5, оказывается, при сделанных допущениях, равной 18 т 6 с кв. секунды дуги (диаметры наименьших измеренных изображений центральных частей приблизительно равны 4"). Очевидно, что это - верхняя граница поверхностной яркости фона центральных частей галактик. Это значение верхней границы поверхностной яркости фона находится в согласии с данными Каллогляна [2, 3] и Петтита [4], получивших для поверхностной яркости центральных частей некогорых галактик подтипов SBa и SBb (среди которых, как мы увидим далее. всгречаются галактики с оценками 4 и 5) среднее значение в 19 7 и 20 5 соответственно. Измерения ими были проведены при помощи диафрагм с размерами в 11" и 18" соогветственно, что вызывало усреднение и естественно должно было дать несколько заниженные результаты по сравнению с нашими.

Таким образом, звездные величины ядер галактик с оценками 4 и 5 могут быть не более чем на 0<sup>т</sup>, 3 слабее непосредственно измеренных значений. В случае же галактик с оценками 1 звездные величины ядер должны быть, по крайней мере, на 1<sup>т</sup>, 5 слабее измеренных значений. Исходя из этого мы можем допустить, что в случае галактик с оценкой 3 ядра должны быгь слабее измеренной суммарной яркости ядра и фона более чем на 0<sup>т</sup>, 7 и в случае галактик с оценкой 2— более чем на 1<sup>т</sup>, 1. Определенная из этого условия верхняя граница поверхностной яркости центральных частей галактик подтипа SBO (оцениваемых, как мы увидим далее, только баллом 3) у нас получается равной 17<sup>т</sup>, 8, что на 0<sup>т</sup>, 8 ярче, чем в случае подтипов SBa и SBb. А у Петгита эта разница равна 1<sup>т</sup>, 1. Такое совпадение результатов говорит в пользу сделанных допущений.

## § 2. РЕЗУЛЬТАТЫ ИЗМЕРЕНИЙ

В табл. 1 приведены полученные данные огносительно 50 наблюденных галактик с перемычкой всех подтипов. В столбцах этой таблицы последовательно приведены: 1) порядковые номера, 2) номера галактик по NGC, 3) интеграль-

Таблица 1

						2 410	manu 1
<i>N</i> <sub>2</sub> <i>N</i> <sub>2</sub> <i>N</i> <sub>3</sub> <i>N</i> <sub>4</sub> <i>N</i> <sub>5</sub> <i>N</i>	NGC IC*	mpg (r)	Балл	тру (я) намеренное	т <sub>рд</sub> (я) нсправлен- ное	М (я)	Clint
1	2	3	4	5	6	7	8
				SBO			
1 2 3 4 5 6 7 8 9	2646 2859 2880 2950 3384 3412 4203 4435 4442 4477	13 m 3 11.9 12.7 12.0 11.0 11.6 11.8 11.8 11.8	3 3 3 3 3 3 3 3 3 3 3 3	16 <sup>m</sup> 2 13.7 14.7 14.2 13.2 15.2 14.2 14.2 14.2 14.2	> 16 <sup>m</sup> 9 > 14.4 > 15.4 > 14.9 > 13.9 > 15.9 > 14.9 > 14.9 > 14.9 > 14.9 > 15.1	<-16.mg < 17.0 < 16.6 < 17.0 < 15.4 < 14.4 < 16.0 < 15.5 < 14.5 < 16.2	
				SBa			
1 2 3 4 5	936 2787 3185 3414 4026	11.3 12.0 13.1 12.1 11.7*	3 5 5 4 3 3 3	14.4 13.7 15.0 13.3 14.6 14.9	> 15.1 14.0 15.3 13.6 > 15.3 > 15.6	< 16.5 16.4 15.9 17.5   < 15.6   < 15.2	+0 <sup>m</sup> 5 +0.4 +0.7
1 2 3 4 5 6 7 8 9 10	4064 4245 4314 4421 4665 4856	12.8÷ 12.3* 11.5 11.9 11.8+ 11.7	3 4 4 3 3 3 5	14.8 16.0 14.5 14.8 15.4	> 15.5 16.3 14.8 > 15.5 > 16.1	<ul> <li>15.1</li> <li>13.7</li> <li>16.7</li> <li>14.1</li> <li>14.4</li> </ul>	+1.6 +0.1
12 13 14	5566 6654 7743	11.4* 12.8 12.5	5 4	14.2 14.8 14.2	> 14.9 15.1 14.5	16.2 18.0 17.9	+0.8 -
		11 2				. ~ %	
1 2 3 4 5 6 7 8 9	1300 2523 2712 3504 3953 3992	11.3 12.6* 12.8 11.6 10.7* 10.5*	4 3 4 5 5 3 5 5 3 2 5 2 1 3 3	15.5 16.0 15.0 13.0 14.6 15.7	> 15.8   > 16.7   15.3   13.3   14.9   > 16.4	< 16.5 17.1 18.4 .1 < 14.8	+0.4 +0.2 +0.2
7 8 9	4102 4394 4548 5850	12.3* 11.6 11.0 11.8	5 3 3 2	14.4 15.2 15.2 15.4	14.7 > 15.9 > 15.9 > 16.5	16.2 < 13.8 < 12.3 < 15.4	+1.5
11 12 13 14 15	5921 5970 6239 6951 7723	11.6 12.2 12.7 12.9 12.0	5 2 1 3 3	14.1 15.4 15.3 15.5 14.6	14.4 > 16.5 > 16.8 > 16.2 > 15.3	16.6   15.3   14.7   16.5   17.2	+0.2

	Продолжение							
1	2	3	4	5	6	7	8	
				SB	Bc			
1 2 3 4 5 6 7 8 9 10	255 672 1073 1727* 2633 3319 3359 3367 3510 4088 7741	12.3 11.6 12.0 12.7 13.0 12.3+ 11.0 12.0 12.8+ 11.2+ 12.5	1 2 1 1 2 1 1 2 1 1 2 1 2 1 1 2 1 2 1 2	16.4 16.4 16.2 17.2 16.7 16.4 15.7 14.9 16.2 2 15.7	> 17.5   > 17.9   > 17.3   > 18.7   > 18.2   > 17.5   > 17.2   > 17.7   > 17.2   > 16.8	<pre>&lt; 14.9 &lt; 11.7 &lt; 15.0 &lt; 11.0 &lt; 14.7 &lt; 13.0 &lt; 14.0</pre>	+0.2	

\* Звездные величины по [6].

+ Звездные величины по Шепли-Эймз.

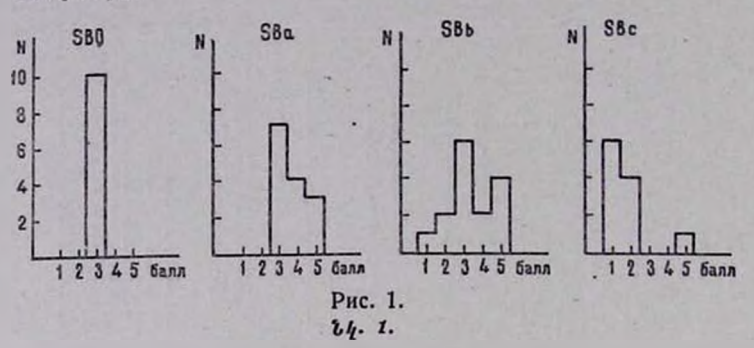
Остальные по Петтиту [4].

ная звездная величина галактик, 4) оценки галактик в пятибалльной системе, 5) измеренные значения фотографических звездных величин ядер, 6) исправленные за влияние фона фотографические звездные величины ядер, 7) абсолютные фотографические величины ядер при постоянной Хаббла 75  $\kappa m/ce\kappa$  на mnc с учетом галактического поглощения по  $A_{pg}=0.25$  cosec b, 8) показатели цвета в международной цветовой системе.

Рассмотрение таблицы позволяет сделать следующие выводы:

а. Об оценках по пятибалльной системе. Распределение ядер изученных галактик по пятибалльной системе приводится в виде гистограмм на рис. 1. Как следует из гистограмм, существует резкое отличие между ядрами галактик разных подтипов. Галактики с оценками 4 и 5 имеются в подклассах SBa и SBb. Галактики типа SBc, кроме галактики NGC 3367, оцениваются только баллами 1 или 2. Здесь отсутствуют галактики даже с сильным центральным сгущением с оценкой 3. В подклассе SBO, наоборот, все галактики имеют оценку 3.

Заметим, что нет никакой зависимости между оценками галактик и их морфологическими признаками r и s по де Вокулёру.



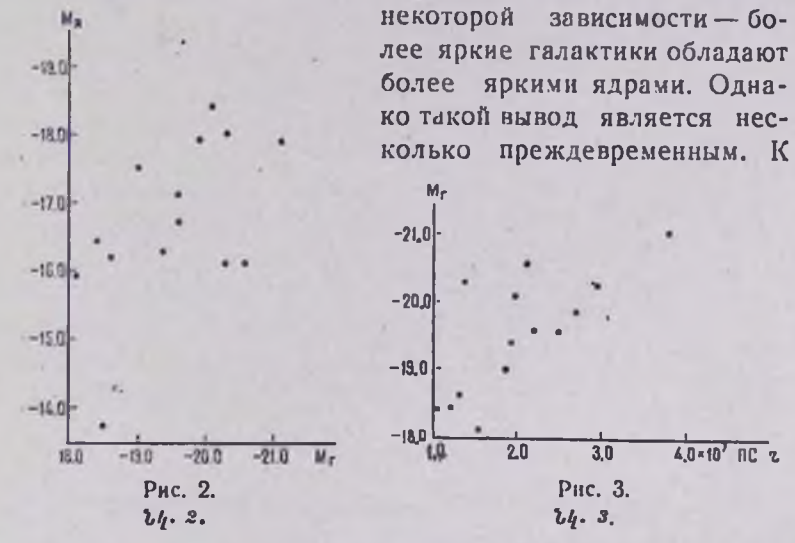
Таким образом, резюмируя, можно представить следующую, возможно эволюционную, картину. В галактиках SBO имеется сильное центральное сгущение, в котором, по всей вероятности, имеется звездообразное ядро. В галактиках типов SBa и SBb звездообразные ядра нередко настолько ярки, что резко выделяются на фоне центрального сгущения. В подтипе же SBc в основном отсутствует даже центральное сгущение; ядра настолько слабы, что никак не проявляют себя на фоне перемычки, а возможно, что их нет вовсе.

б. О светимостях ядер. Имеется большая дисперсия светимости ядер гвлактик подклассов SBa и SBb. Здесь встречаются такие ядра, как у NGC 3504, с фотографической абсолютной величиной, равной —18 т, и такие слабые, как, например, у NGC 4548, абсолютная яркость ядра которой слабее —12 т. Светимость ядер галактик этих подтипов составляет иногда 25% интегральной светимости галактики, как в случае NGC 3414, и может составлять менее 20% интегральной светимости. Возможные же ядра галактик подтипа SBc очень слабые, в среднем слабее — 13 т. Наиболее яркие возможные ядра слабее — 15 светимость ядер этих галактик может составлять в среднем не более 1% интегральной светимости галактики. Исключение составляет оцениваемая баллом 5 галактика NGC 3367, ядро которой име-

ет абсолютную величину, равную —  $17\,^{\rm m}9$ , и составляет  $5^{\rm o}/_{\rm o}$  интегральной светимости галактики.

В случае галактик подтипа SBO в сильном центральном сгущении весьма вероятно наличие ядер с абсолютной величиной в среднем слабее  $-16^{\rm m}$ . Здесь светимости ядер составляют в среднем менее  $6^{\rm o}/_{\rm o}$  интегральной светимости галактик.

На рис 2. приведена зависимость абсолютной величины ядер от абсолютной интегральной величины соответствующих галактик. Рассмотрение рисунка указывает на наличие



подобной зависимости может привести и избирательность наблюдательного материала, поскольку имеется и зависимость интегральной яркости исследованных галактик от их расстояния (рис. 3).

Большая дисперсия светимостей ядер в пределах подтипов SBa и SBb, где ядра составляют от 25 до менее чем  $2^0/_0$  интегральной светимости галактик, является свидетельством того, что развитие ядра в известной степени происходит независимо от морфологической структуры галактики. Слабость возможных ядер галактик подтипа SBc или вообще их отсутствие имеет, очевидно, эволюционное значение.

в. О цвете ядер. Исследование показало, что показа-

тель цвета ядер галактик меняется в довольно широких пределах, от +1.5 до почти 0, причем у большинства он меньше +0.5. Сопоставление показателей цвета ядер с их абсолютными величинами не показывает какой-либо зависимости между ними.

В случае галактик NGC 3953, 4314, 4421 даются верхние пределы показателей цвета, поскольку эти галактики в оранжевых лучах оценены баллом 3, и для них соответственно были определены лишь верхние пределы яркостей. Полученные для NGC 3953 и 4421 повторные снимки подтвердили правильность их оценки.

Возможно, что голубой цвет некоторых ядер объясняется наличием большого количества голубых гигантов в них или же, что более вероятно, это может быть результатом предполагаемого Б. Е. Маркаряном наличия дополнительного нетеплового излучения в ядрах некоторых галактик [5]. В обоих случаях это обстоятельство также является, по-видимому, признаком активности ядер.

Авторы считают своим приятным долгом выразить признательность акад. В. А. Амбарцумяну за ценные замечания и постоянный интерес к работе, а также Б. Е. Маркаряну за консультации в процессе обработки материала.

u. s. eullogisub, 2. v. engruusub .

## ՁՈՂԻԿԱՎՈՐ ԳԱԼԱԿՏԻԿԱՆԵՐԻ ԿՈՐԻԶՆԵՐ

## Udhnhaid

Աշխատանքում բերված են 50 ձողիկավոր գալակտիկաների կորիզների լուսաչափական և գունաչափական հետազոտության արդյունըները։ Դիտուեները կատարվել են Բլուրականի աստղադիտարանի 21—21" Շմիդտի սիստեմի դիտակի վրա ստացվել է 3—4 պատկեր տարբեր լուսակալուեներով։ Հաջորդական լուսակալումերն իրարից տարբերվում են 1.5 կամ, հազվադեպ, 2 անդամ։ Կիրատին արդիկան են հետևան հետ 1.5 կամ, հարարին անարանական մատերը գնահատված են հետևան 5-նիշանոց սիստեմում։

ը գրաջաստիաը անվուղ է անը մրաճաւզ, ընե մակաքաւթ

ունի աստղաձև կորիզ, որի պատկերներն առնվազն երկու հաջորդական լուսակալումների վրա չեն տարբերվում աստղալին պատկերներից։

4 դնահատվում են աստղանման կորիղները, որոնց պատկերներն արդեն որոշ չափով տարրերվում են աստղային պատկերներից։ Այստեղ, որպես կանոն, կորիղի սեացումը ցածր է միևնուլն տրամաղիծն ունեցող աստղերի սեացումից։

3 գնահատվում են այն դալակտիկանևրը, որոնց կորիղնևրը կորչում են կենտրոնական մասի ուժեղ խատցման մեջ։

2 գնահատվում են ալն գալակտիկանհրը, որոնց կորիդները կորչում են Թուլլ խտացում ունեցող կենարոնական մասի մեջ։

1 դնահատվում են ալնպիսի դալակտիկաները, որոնց կենտրո֊ Նական մասում չկա որևէ խտացման հետք անգամ։ Շա։ո հավա֊ Նական է, որ ալդպիսի դալակտիկաներն ընդհանրապես կորիզ չունեն։

Ուսումնասիրուխլունը ցույց է տալիս, որ 5 և 4 դնահատականի կորիզնհրը դհրակշռում հն SBa և SBb դալակտիկանհրում։ SBO հնխադասի դալակտիկանհրում կորիզնհրն ունեն բացառապես 3 դնահատական, իսկ SBc դալակտիկանհրում, բացառուխլամբ NGC 3367-ի՝ 1 կամ 2 դնահատական (դծ. 1)։

Պարզվում է, որ կորիզի վրա պրոհկաված ֆոնի ազդևցութելունը թացառնվուց հետո 4 կամ 5 գնահատական ունևցող կորիդների պայծառությունը կազմում է համապատասկան դալակաիկաների ինտեդրալ պայծառության 2-ից մինչև  $25^0/_0$ -ը։ 1, 2 և 3 գնահատականով կորիզննրի համար ոլոշվել է պայծառությունների վերին սահմանը։ SBc ենթագասի դալակտիկաների հնարավոր կոբիզներն ունեն շատ ցածր լուսատվություն միջինում Mpg < 13.00.

Որոշվել է նաև 4 և 5 դնահատականի կորիզների դույնի ցուցիչը, որը, հրբենն, հասնում է մինչև 0<sup>m</sup>.

գասաժաննգար բրա։ ընկան ժանակակինը իրավաց լևտնունիչ՝ սչ առամակիր կասունիչ որըուկնիչ, իսևինի բրա իրակացում, դրչը՝ գսևց, ուրբոյն՝ նոա ընկան ժանակարկորը իրա իրակաց լևտնունիչ՝ սչ առամակիր կասունիչ ընկան գահանական գրար կանվաց իրանում և անական կաստանվում է առաժաննգություն արանում է՝ սև կանում և անական անական կաստանվում է արաահանգությունը կաստանվում է

## A. T. KALLOGLIAN, H. M. TOVMASSIAN THE NUCLEI OF BARRED GALAXIES

### Summary

The results of photometric and colorimetric investigation of the nuclei of 50 barred galaxies are presented (see table 1). Observations are made on 21—21" Schmidt telescope of Byurakan Observatory, with a scale of 114" per mm. On each plate 3 or 4 images of the nucleus are obtained with successive exposures which differ one from other by 1.5 or rarely by 2 times. The limiting exposures were chosen to obtain the faintest images of the nucleus. The focal images of NPS stars obtained in the same way were used as standarts. Then the central parts of all investigated galaxies were divided into 5 groups.

The mark 5 refers to the starlike nuclei, the images of which don't differ by at least two consequent exposures from

that of stars.

The mark 4 refers to the nuclei which somewhat differ from the images of the stars, in the sense that the density of images of such nuclei are slightly weaker than that of similar stars.

The mark 3 refers to the galaxies, the nuclei of which disappear in a very strong central concentration.

The mark 2 refers to the galaxies, the possible nuclei of which could be in a weak, mainly irregular central concentration of the galaxy.

The mark 1 refers to the galaxies, in the central parts of which there is no concentration at all. It is very probable that in such galaxies nuclei are absent at all.

For the nuclei of groops 1, 2 and 3 upper limits of brightnesses are estimated only.

Investigation shows that the nuclei of 4-th or 5-th groups exist in the galaxies of SBa and SBb type. All galaxies of SBO type have nuclei with mark 3. The galaxies of SBc type, except NGC 3367, have nuclei with marks 1 or 2 only (Fig. I).

It is found that the brightnesses of the nuclei with marks 4 or 5 vary from 2 to  $25^{\circ}/_{\circ}$  of the integral brightnesses of the corresponding galaxies. The brightnesses of probable nuclei of SBc type galaxies are usually less than  $1^{\circ}/_{\circ}$  of the integral brightnesses and have absolute magnitudes fainter than  $-13^{\rm m}$  in average. In the case of SBO type galaxies the existence of nuclei with a mean absolute magnitudes fainter than  $-16^{\rm m}$  is possible.

For nuclei of 4 or 5 groops the colors are also estimated. It is suggested that the evolution of the nuclei is going independent from the structural characteristics of galaxies. In the case of blue nuclei it seems possible the existance of additional nonstellar radiation.

### ЛИТЕРАТУРА

- 1. В. А. Амбарцумян, Известия АН АрмССР, серия физико-математических наук. 9, 23, 1956.
- 2. А. Т. Каллоглян, ДАН АрмССР, 28, 217, 1958.
- 3. А. Т. Каллоглян, Сообщения Бюраканской обсерватории, 25. 35, 1958.
- 4. E. Pettit, Ap. J., 120, 413, 1954.
- 5. Б. Е. Маркарян, Сообщения Бюраканской обсерватории, 34, 3, 19, 1963.
- 6 M. L. Humason, N. U. Mayall, A. R. Sandage, A. J., 61. 97, 1956.



## Г. А. Гурзадян, О. С. Чавушян

# ИНТЕНСИВНОСТИ ЭМИССИОННЫХ ЛИНИЙ ЧЕТЫРЕХ СЛАБЫХ ЗВЕЗД ВОЛЬФ-РАЙЕ

На 40" телескопе Шмидта Бюраканской обсерватории в комбинации с объективной призмой были получены спектрограммы слабых звезд с эмиссионными линиями. Среди них оказались четыре звезды Вольф-Райе, для которых, насколько нам известно, отсутствуют спектрофотометрические данные. Речь идет о звездах НD 165688, 211564, 213049 и звезде под номером 114 в каталоге Робертса [1]. Данные об этих звездах приведены в табл. 1.

Таблица 1

					10071040 1
Звезда	a (1900)	ઢ (1900)	Sp	mpg	m <sub>V</sub>
HD 165688	18 <sup>h</sup> 02 <sup>m</sup> 1	-19 25'	WN 5	9.7	9.8
R 114*	22 06.1	+57 13	WN 5	12.5	_
HD 211564	22 12.9	<b>-</b> 55 07	WN 5	11.1	_
11D 213049	22 23.7	+55 46	WC 6	11.0	_

<sup>\*</sup> По каталогу Робертса [1].

Из перечисленных звезд Вольф-Райе более или менее подробно была изучена Хильтнером [2] только R 114 как двойная система. Эта звезда впервые была обнаружена Вальтер в 1945 году [3] и вначале была классифицирована как типа WC 7. Хильтнер установил, что R 114 является спектропической и фотометрической двойной (СХСер) с периодом около двух дней и с небольшой амплитудой колебания яркости на первом минимуме (0т125). Он показал также, что только один из компонентов этой системы является звездой Вольф-Райе и уточнил ее тип — WN 5.

Что касается остальных трех звед табл. 1, то для них. кроме определения или уточнения спектральных типов

[4-6], других наблюдений не имеется.

В настоящей заметке приводятся первые спектрофотометрические данные об этих звездах. Все четыре спектрограммы - по одной спектрограмме для каждой звезды - были получены в одну ночь (6-7 августа 1962 года), причем три из них (для HD 211564, HD 213049 и R 114) оказались на одной пластинке (№ 122). Экспозиция для обеих пластинок была одинаковая и равна 15 мин.

Расширение спектрограмм осуществлено с помощью специального автоматического приспособления, непосредственно связанного с кассетой и сообщающего ей периодические движения с заданной амплитудой перпендикулярно дисперсии. Дисперсия объективной призмы равна приблизительно 275 А/мм около Нт. Использованы пластинки Коdak OaO. Спектры были фотометрически привязаны к окружающим звездам типа АО и АЗ, а калибровка осуществлена с помошью лабораторных отпечатков. Микрофотометрические записи спектрограмм как для исследуемых звезд, так и для звезд сравнения были сняты на универсальном микрофотометре Бюраканской обсерватории с увеличением в 44 раза. при строго одинаковой ширине входной щели микрофото-

На рис. 1 приведены копии микрофотометрических записей исследуемых звезд. Обращает на себя внимание прежде всего разница в структуре спектров звезд R 114 и HD 211564; в то время как R 114 отличается обилием эмиссионных линий, у HD 211564 эти линии сливаются друг с другом, образуя широкие эмиссионные полосы в отдельных участках спектра. Между тем обе звезды принадлежат к азотной группе и имеют одинаковый спектральный (WN 5), а получение и обработка спектрограмм, как упоминалось выше, были осуществлены в одинаковых условиях. Поэтому указанную разницу в структуре спектров следует приписать разнице в величинах скоростей расширения газовых оболочек этих звезд. Действигельно, скорость расширения оболочки в случае R 114, оцененная по ширине линии

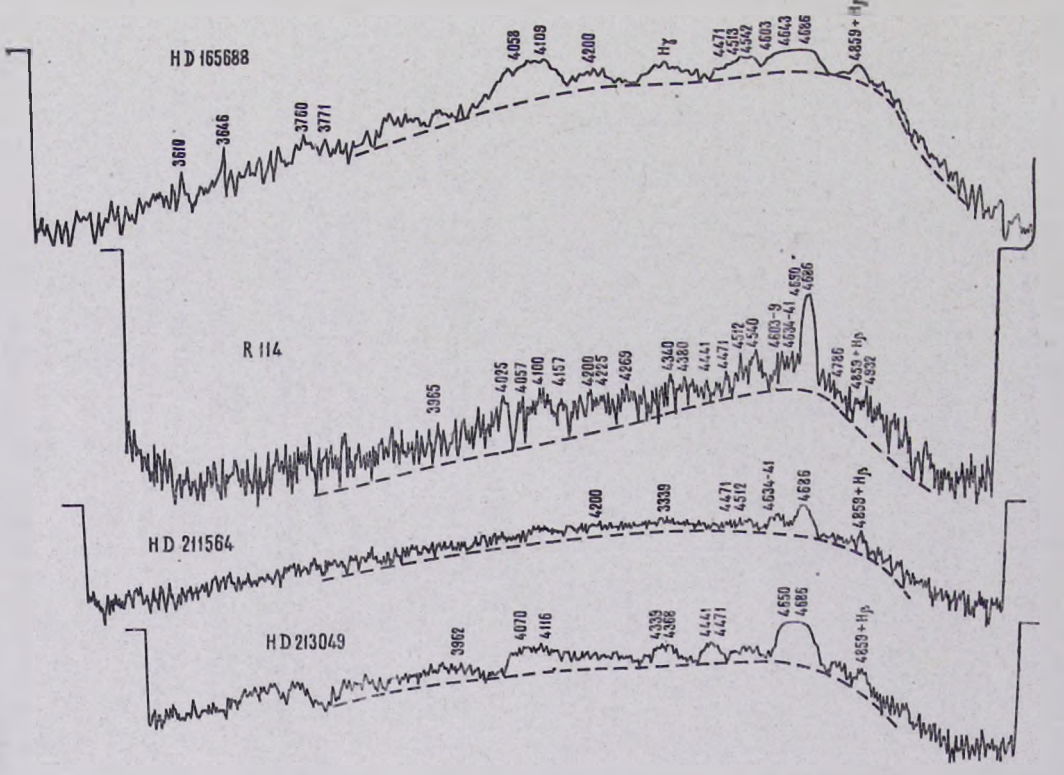


Рис. 1. Микрофотометрические записи изученных знезд Вольф-Рапе.

4471 He I, оказалась равной 500 км/сек, а для HD 211564 —

около 1100 км/сек.

В спектре звезды R 114 удалось отождествить 25 эмиссионных линий. В табл. 2 приведен список этих линий с приблизительной оценкой их интенсивностей. Водородные

Таблица 2 Интенсивности эмиссионных линий R 114 (WN 5)

λ.	I,	λ	I <sub>k</sub>
4932 He II 4861 H I 4859 He II 4786 C IV 4686 He II 4650 C JII 4634 N III 4634 N III 4615 N V 4609 C III (N III) 4503 N III	16 } 120 4 100 7 } 8 5 } 7 9 12	4471 He I 4441 C IV 4375 He I, C III 4380 He I, N III 4340 He II, N II 4269 C II 4225 — — 4200 He II. N III 4157 OV, C II 4100 He II 4057 N IV 3965 O III, He I	5 6 9 12 7 8 9 16 18 14

линии поздних номеров, по-видимому, присутствуют в поглощении, а сказать что-нибудь определенное о первых линиях  $(H_{\beta},\ H_{\tau})$  невозможно, так как они сильно блендированы другими эмиссионными линиями. По-видимому, в спектре этой звезды присутствует также слабая линия 4650 С III, и притом раздельно от линии 4686 He II (обычно, в особенности у звезд Вольф-Райе углеродной группы, обе эти линии сливаются).

По величине относительных интенсивностей эмиссионных линий R 114 напоминает Вольф-Райе звезды азотной группы BD + 35°4001 и в особенности BD + 37°3821 [7] Однако в сравнении с первой из этих звезд относительная интенсивность линии 4634 N III у R 114 аномально низка (почти в три раза).

Для остальных трех звезд Вольф-Райе были оценены относительные интенсивности эмиссионных полос в их спектрах. Эти данные приведены в табл. 3, 4 и 5. Там же указаны некоторые из составляющих данную полосу линий.

К сожалению, в случае HD 165688 и HD 213049 самая сильная линия — 4686 Не II—оказалась передержанной и ее нельзя было измерить.

Таблица 3 Интенсивности эмиссионных полос HD 165688 (WN 5)

Полоса	Линия	Ι,	Полоса	Линия	$I_{\lambda}$
4905—4780	4861 H I 4859 He II	} 100	4240—4154	4200 He II, N III	} 80
4560—4440	4542 He II 4513 N III 4471 He I	} 110	4150—4020	4100 He II 4058 N IV 3967 HeI 3771 —	} 340 5 20
4415—4280	4340 He II 4379 He II 4340 H I	} 190	3785—3750	3760 O III	} 80

Таблица 4
Интенсивности эмиссионных полос HD 211564

Полоса	Линия	$I_{\lambda}$	
4890 – 4830	4861 H I 4859 He II 4686 He II 4641 N III	} 25	
4620—1560	4634 N III 4619 N V 4603 N V 4542 He II 4513 N III	30	

Были определены приблизительные значения скорости расширения газовых оболочек для рассмотренных звезд по ширине более или менее изолированных эмиссионных линий (в основном по 4471 He I и 4859 He II + H $_{\beta}$ ). Эти результаты приведены в табл. 6.

Известны трудности определения спектрофотометрических градиентов для звезд Вольф-Райе. Тем не менее такая попыткя для рассмотренных нами звезд сделана, правда, только для фотографической области спектра (4800÷3800 A). При этом принято, что уровень непрерывного спектра про-

Таблица 5
Интенсивности эмиссионных полос
НD 213049 (WC 6)

Полоса	линия.	$I_{\lambda}$
5070—5000	5017 C IV 5016 He I	} 120
<b>4900</b> — <b>482</b> 0	4863 H I 4859 He II	} 135
4810—4740	4786 C IV	} 100
4550—4495	4542 He II 4516 C III	} 120
4480—4400	4471 He I♥ 4441 C IV	} 210
4375—4320	4368 C III 4338 He III 4326 C III	} 250
4130 4030	4116 SI IV 4089 SI IV 4070 C III	} 550
3780—3740	3760 —	260

Taблица 6 Скорость расширения газовой оболочки  $V_{\mathfrak{o}}$  (км/сек)

Звезда	V <sub>o</sub>
HD 165688	1 400
R 114	500
HD 211564	1 100
HD 213049	1 000

ходит через нижние концы неравномерностей (эмиссионных линий) на микрофотометрической записи (пунктирные линии на рис. 1). Это, конечно, не очень хорошо, так как в результате слияния эмиссионных линий и их оснований уровеньнепрерывного спектра может существенно подняться и, глав-

ное, подняться весьма неравномерно в разных участках спектра. По-видимому, нечто подобное имело место в случае звезд НD 165688 и R 114, для которых были получены неправдоподобные значения для абсолютного спектрофотометрического градиента Ф<sub>в</sub>, приводящие к бесконечному значению планковской температуры (см. рис. 2 и табл. 7).

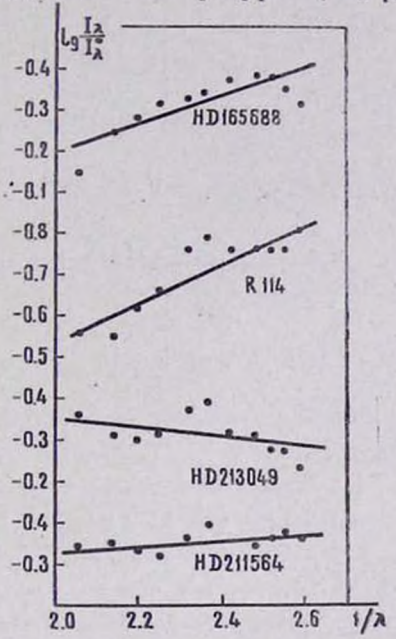


Рис. 2. Относительное распределение энергии в непрерывном спектре для изученных звезд Вольф-Райе в фотографическом диапазоне.

Նկ. Հ. Էնհրդիայի հարարերական րաշխումը ըննարկված Վոլֆ-Ռայե աստղերի անընդհատ սպեկտրներում

Для остальных двух звезд спектрофотометрические температуры оказались по порядку величины такими же, как это раньше было получено для других звезд Вольф-Райе. Однако и для них приведенные в таблице значения цветовой температуры следует считать условными.

Tаблица 7 Относительные ( $\Phi_b$ ) и абсолютные ( $\Phi_b$ ) спектро-фотометрические градиенты

Звезда	Звезда сравнения	749	Фь	Tb
HD 165688	HD 164792 (A0)	0.78	0.22	_
R 114	HD 211659 (A3)	1.14	0.17	
HD 211564		0.15	1.15	15 000°
HD 213049		-0.30	1.60	9 000

#### Գ. Ա. ԳՈՒՐԶԱԴՅԱՆ, Հ. Ս. ՉԱՎՈՒՇՅԱՆ

## ՉՈՐՍ ԹՈՒՅԼ ՎՈԼՖ-ՌԱՅԵ ԱՍՏՂԵՐԻ ԷՄԻՍԻՈՆ ԳԾԵՐԻ ԻՆՏԵՆՍԻՎՈՒԹՅՈՒՆՆԵՐԸ

## Ամփոփում

Աշխատանքում առաջին անգամ բերված են չորս բավականին Թուլլ Վոլֆ-Ռալև աստղերի (HD 165688, 211564, 213049 և R 114) համար 40" տելեսկոպի միջոցով ստացված սպեկտրոդրամների մշակման արդյունքները ալն է. 1) էմիսիոն դծերի և շերտերի հարաբերական ինտենսիվուԹյունների մեծուԹյունները, 2) դազալին ԹաղանԹների լալնացման արագուԹյունները, 3) հարաբերական և բացարձակ սպեկտրոֆոտոմետրիկ դրադիևնտների մեծուԹյունները։

### G. A. GURZADIAN, H. S. TCHAWUSHIAN

# THE EMISSION LINE INTENSITIES FOR FOUR FAINT WOLF-RAYET STARS

## Summary

For the first time the spectrophotometric parameters for four faint Wolf-Rayet stars HD 165688, 211564, 213049 and R 114 were obtained. The spectrogramms were taken by 40" Schmidt telescope of Byurakan Observatory in the combina-

tion with the objective prism.

The intensities of emission lines or bands, the velocities of the expansion of there gaseous envelopes, and the values of the relative and absolute spectrophotometric gradients are given in the corresponding tables.

#### ЛИТЕРАТУРА

- 1. M. S. Roberts, A. J., 67, 79, 1962.
- 2. W. A. Hiltner, P.A.S.P., 57, 314, 1945; Ap. J., 108, 56, 1948.
- 3. A. N. Vissotsky; W. J. Miller, M. E. Walther, P.A.S.P., 57, 314, 1945
- 4. C. B. Stephenson, P.A.S.P., 72, 126, 1960.
- 5. Trans. IAU, VI, 248, 1938.
- II. J. Smith, "Southern Wolf-Rayet stars", Ph. D thesis. Harvard obser., 1955.
- 7. L. H. Aller, Ap. J., 97, 135, 1943.



## Г. С. Бадалян, Л. К. Ерастова

## ДВУХЦВЕТНЫЕ НАБЛЮДЕНИЯ 17 ПЕРЕМЕННЫХ ЗВЕЗД ТИПА RW ВОЗНИЧЕГО

С целью выяснения характеристик изменения блеска и цвета переменных звезд типа RW Возничего были сделаны параллельные двухцветные наблюдения в двух областях с центрами около  $\varphi$  и  $\varepsilon$  Тельца на 6" двойном астрографе Бюраканской обсерватории в течение 1961—1962 годов. Для получения фотографических величин исследуемых звезд использовались пластинки Kodak Oa-O и Agfa Astro, а для фотовизуальных величин — Kodak Oa-G в сочетании со светофильтром Schott GG 14. Наша система звездных величин близка к интернациональной.

Полученный материал позволил измерить блеск 17 переменных, причем лишь для 6 из них в двух цветах.

Пластинки были промерены на объективных микрофотометрах "Шнелл" или "МФ-2". Отдельные оценки блеска ряда звезд, находившихся на пределе возможностей телескопа, делались глазомерно при помощи лупы с увеличением в 10 раз.

Блеск переменных оценивался с помощью звезд сравнения, звездные величины которых определялись тремя привязками к стандартным звездам Плеяд [1]. Ниже приводятся карты окрестностей переменных с указанием использованных нами звезд сравнения (рис. 1—5). В табл. 1 приведены их фотографические и фотовизуальные звездные величины. Для Т, RY и частично для UX Тельца мы пользовались звездами сравнения Г. С. Бадаляна [2]. Но поскольку у последней переменной мы отметили очень глубокие минимумы блеска, оказалось необходимым расширить список звезд

сравнения до более слабых фотографических величин. Оценивая ее блеск в фотовизуальных лучах, мы дополнительноиспользовали свои звезды сравнения из окружения GG Тельца. Для остальных переменных мы нашли возможным употребление фотографических величин звезд сравнения, определенных П. Н. Холоповым [3].

Таблица 1

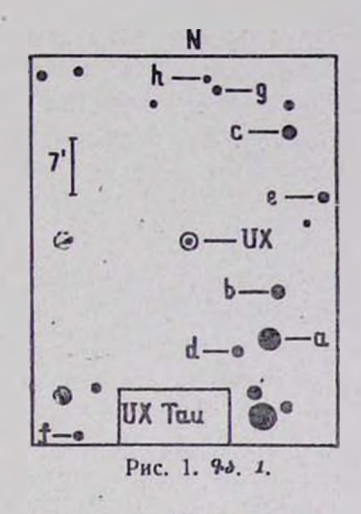
Звезда		mpg		mpv			
Звезда сравнения	UX Тель- ца	Т-24 Тельца	Т-14, XZ СПЗ 1357 Тельца	GG Тельца	ВР <sup>*</sup> Тельца	ДЕ Тельца	
a b c d e f g	9.98 11.24 11.79 12.09 12.27 12.69 13.18 14.21	13.65 14.18 15.00 15.26 15.45 15.65	13.68 14.46 14.83 15.38 15.60	11.42 12.07 12.35 12.57 13.25	11.11 11.88 12.65 13.26	12.14 12.60 12.85 13.19 13.38	

Полученные нами результяты для всех 17 звезд приведены в прилагаемых к статье табл. 2—5.

Далее дается краткое описание особенностей изменения блеска изученных нами переменных.

#### RY ТЕЛЬЦА

На основании 30 одновременных двухцветных наблюдений построены кривые блеска звезды в фотографических и фотовизуальных лучах. Хербиг [4] и П. Н. Холопов [5] указывали, что, начиная с 1958 года, звезда находится в очень глубоком минимуме блеска, из которого по нашим наблюдениям она постепенно выходит. С J. D. 2437 591 по J. D. 2437 994 RY Тельца увеличила свой средний блеск на 1<sup>тв</sup> в обоих лучах. Общие пределы изменения блеска звезды в фотографических и фотовизуальных лучах оказались 11 т1 — 12 т2 и 9 т70 — 10 т80 соответственно. Показательцвета меняется в меньших пределах от 1 т0 до 1 т5, а отношение фотографической амплитуды к фотовизуальной равно 1.0.



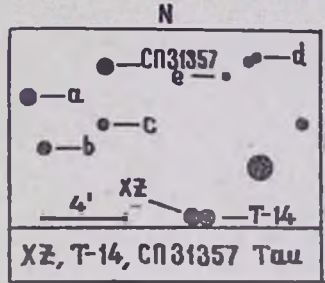


Рис. 3. 9. 3.

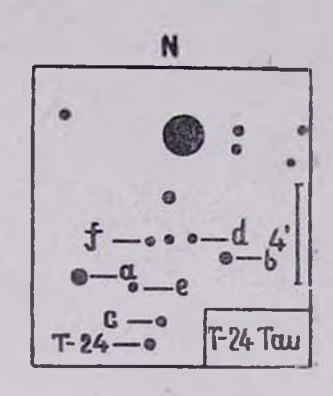


Рис. 2. 94. 2.

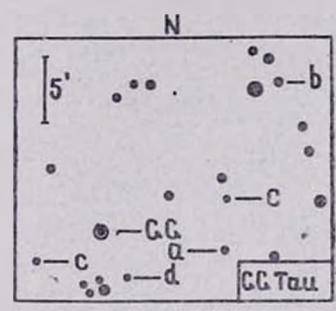


Рис. 4. 9. 4.

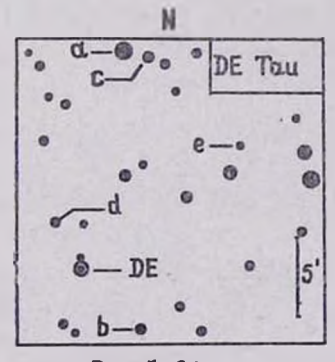


Рис. 5. 9. 5.

На прогрессивное усиление среднего блеска накладых ваются более мелкие колебания, причем изменения обои-

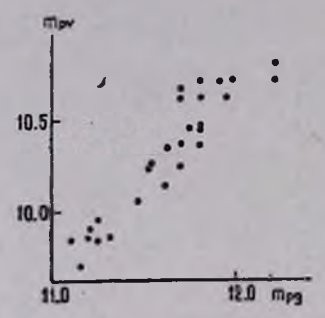


Рис. 6. Зависимость между фотографическими и фотовизуальными величинами для RY Тельца.

Նկ. 6. RY Ցուլի լուսանկարչական և լուսատնսողական աստղային ժեծությունների կապը։ видов имеют примерно одинаковый ход в двух цветах. Это подтверждает и рис. 6.

#### ВР ТЕЛЬЦА

Переменность этой звезды подтвердил Н. Е. Курочкин [3].

Полученные результаты об изменениях блеска в двух лучах показывают, что колебания блеска быстрые, совершенно неправильные, в течение суток доходящие до 0<sup>т</sup>3 с пределами 12<sup>т</sup>3—13<sup>т</sup>2 в фотографических лучах (в хорошем согласии с результатами Н. Е. Курочкина [3]) и 11<sup>т</sup>5—12<sup>т</sup>2— в фотовизуальных.Заметна хорошая кор-

реляция между изменениями блеска в обоих лучах (рис. 7).

Интересно отметить. что Гётиа [6]. наблюдения которого лежат в промежутке между наблюдениями Н. Е. Курочкина и нашими и охватывают интервал времени от J. D. 2435 051 по J. D. 2436 200. пределы изменения блеска ВР Тельца в фотографических лучах значительно больше, а именно 10 7-13.0, причем автор замечает, что довольно часто наблюдались колебания блеска на 0.6-0.8 в день.

#### **DE ТЕЛЬЦА**

Пронаблюдав переменную в интервале времени от J. D. 2437 558 по J. D. 2437 991, мы отметили лишь небольшие колебания блеска как

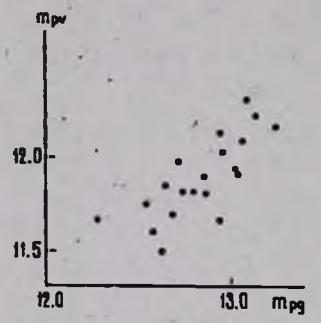


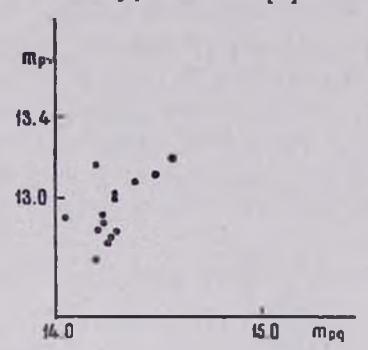
Рис. 7. Зависимость между фотографическими и фотояизуальными величинами для ВР Тельца.

նկ. 7. BP Ցուլի լուսանկարչական և լուսատեսողական աստղային ժեժությունների

в фотографических

(13 т.9 — 14 т.6), так и в фотовизуальных лучах (12 т.7 — 13 т.2). Наблюдаются лишь незначительные колебания блеска этой переменной. П. Н. Холоповым и Н. Е. Курочкиным [3] отме-

чены изменения фотографических звездных величин в не-СКОЛЬКО больших пределах (13. 8-14. 8), затем Гетц [6] находит медленные нерегулярные изменения блеска в пределах 13 ... 9 — 14 ... 6, совпадающих с нашими, а в промежутке от J. D. 2435051 до J. D. 2436 000 сообщает о стационарном состоянии с колебаниями блеска, не превышающими 0.3 около среднего положения, равного 14 тО. В отличие от RY и ВР Тельца, DE Тельца показывает сравнитель-



но слабую корреляцию между фотографическими и фотовизуальными величинами (рис. 8). Но надо заметить, что при сравнении с вышеуказанными переменными общие пределы изменения ее блеска невелики, оценок немного, кроме того, она слабая и в фотовизуальных лучах лежит на пределе видимости. Поэтому результаты для нее следует считать менее достоверными.

#### **ГМ ТЕЛЬЦА**

По сравнению с наблюдениями Гетца [6] звезда несколько изменила характер колебаний своего блеска: вопервых, она в среднем ослабла (пределы 14.5-15.5 в фотографических лучах в сопоставлении с 14.2-15.2, и, вовторых, мы не отметили преобладания колебаний блеска звезды между значениями 14.4-14.7. Изменения блеска быстрые, доходящие до 0.4-0.6 за день. Гётц [6] же, напротив, констатирует спокойное поведение звезды: изменение на 1.60 отмечалось за 5 дней.

#### сw тельца

Мы обнаружили быстрые, большие и неправильные изменения блеска звезды, доходящие до 0.5—1.0 за день с пределами изменения блеска в фотографических лучах 14.0—15.8. В действительности амплитуда несколько больше, т. к. на некоторых негативах не заметно даже следа СW Тельца. Видимо, её блеск опускался ниже предельной звездной величины наших пластинок (15.6—15.8). И у этой переменной в разные наблюдательные периоды пределы изменения блеска оказались несколько отличными (13.6—15.6 у П. Н. Холопова [3], 13.9—15.1 у Гетца [6] и вышеупомянутые у нас).

#### DD, CY ТЕЛЬЦА

Как известно, DD и CZ Тельца составляют двойную систему с расстоянием между компонентами 30". Они расположены в светлой кометарной туманности. CZ Тельца очень слаба и не видна на наших пластинках. Блеск DD Тельца меняется в довольно больших пределах (14 т.7—15 т.6).

Особый интерес представляет тот факт, что у DD Тельца мы зарегистрировали за 0.1 суток увеличение блеска на 0.3. Это видно на негативах, снятых в течение одной ночи с 50-минутными экспозициями и следующими друг за другом (J. D. 2437 963.4). Быстрые изменения блеска DD Тельца зафиксировал и Гетц [6]. Он указывает, что изменення блеска на 0.4 за 0.04 суток не редкость и даже однажды звезда ослабла на 0.7 за 0.03 дня. Пределы изменения блеска звезды в период наблюдений Гетца несколько больше, чем за наш наблюдательный период (14.1—15.5).

Блеск СУ Тельца изменяется быстро (до 0<sup>m</sup>.6 за сутки) в интервале 14<sup>m</sup>.2—15<sup>m</sup>.2.

#### СX, FР ТЕЛЬЦА

У этих звезд колебания блеска оказались очень незначительными: 15т0—15т4 у СХ Тельца и 15т2—15т6 у FP Тельца. Можно предполагать, что они находятся в одном из своих спокойных состояний, что характерно для

звезд этого типа. Если сопоставить наши наблюдения с наблюдениями П. Н. Холопова [3] и Гётца [6], то окажется, что характер изменения блеска этих звезд меняется в зависимости от времени наблюдений. У ГР Тельца П. Н. Холопов и Н. Е. Курочкин [3] нашли очень маленькую амплитуду 0 % 3 (к сожалению, нельзя говорить о констатации спокойного состояния, поскольку их наблюдения очень разрозненны), затем Гётц [6] в промежутке времени от Ј. D. 2434 718 до Ј. D. 2434 780 отмечает спокойное состояние с колебаниями блеска между 15 % 4 — 15 % 6, выход из него и изменения блеска, доходящие до 0 % 6. У СХ Тельца и П. Н. Холопов [3] и Гётц [6] наблюдали колебания блеска до 0 % 8.

#### UX ТЕЛЬЦА

Кривые блеска в фотографических и фотовизуальных лучах очень похожи: изменения блеска в обоих лучах

происходят почти параллельно (рис. 9).

Блеск звезды меняется в пределах от 11 7 до 13 7 в фотографических и от 10 т 5 ло 12 т2 в фотовизуальных лучах. Колебания блеска очень сильные имеют характер резких перегулярных ослаблений (рис. 10). Фактически оценивался суммарный блеск этой двойной звезды. Нужно отметить, что на одном 21" снимков, полученных на телескопе системы Шмидта, виден слабый спутник звезды, но в целом UX Тельца-в минимуме блеска. Это лишний

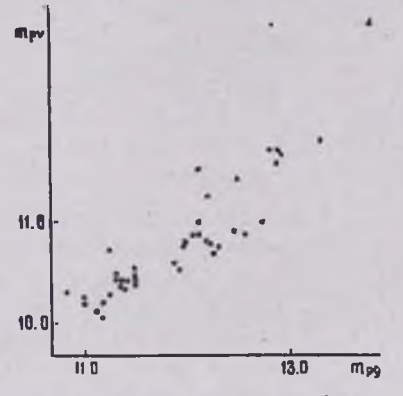
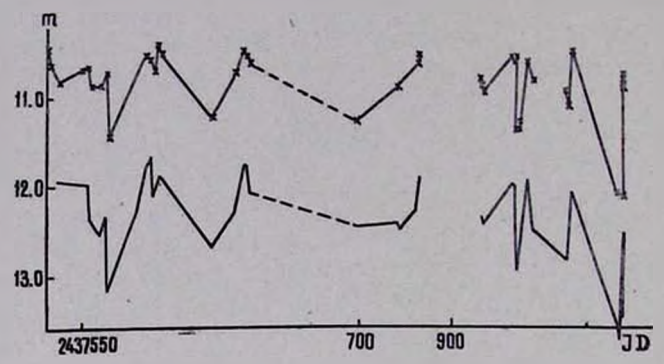


Рис. 9. Зависимость между фотографическими и фотовизуальными величинами для UX Тельца. 64. 9. UX выць закар закары выправный выдатный выправный выдатный выправный вы

раз подтверждает то, что и слабый компонент этой пары тоже переменный.



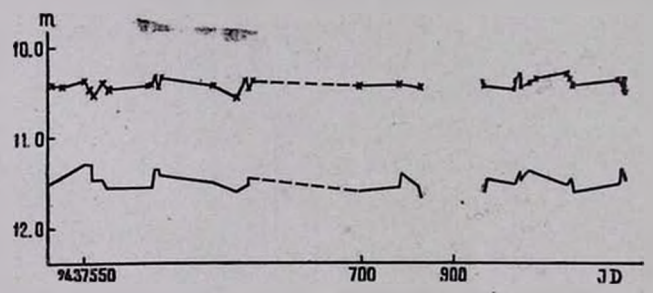


Рис. 11. Кривые блеска переменной Т Тельца: - в фотографических лучах, × в фотовизуальных лучах. 74. 11. Т Впеременной управлений у

#### Т ТЕЛЬЦА

По нашим наблюдениям звезда находится в спокойном состоянии, имея среднюю фотографическую величину, равную  $11\,\text{\reflet}5$  при почти постоянном показателе цвета  $+1\,\text{\reflet}1$  (рис. 11).

#### GG ТЕЛЬЦА

Пределы изменения блеска звезды получились незначительными (13™4—14™1 в фотографических лучах в полном согласии с результатами П. Н. Холопова [3] и 12™2—12™5 в фотовизуальных).

Может быть, звезда постоянная? Однако присутствие в ее спектре эмиссии в  $H_{\alpha}$  [7] как будто бы говорит против этого. По-видимому, GG Тельца, так же как и Т Тельца, находится в спокойном состоянии. Следует особенно пристально следить за ней.

#### DM ТЕЛЬЦА

Звезда показала медленные непериодические колебания блеска с фотографическими пределами 14.3—15.3.

#### Т-24 ТЕЛЬЦА

Аро, Ириарте и Чавира [8] обнаружили у звезды линию Н. в эмиссии. Наши наблюдения подтверждают предположение вышеупомянутых авторов о переменности Т-24 Тельца. Ее фотографический блеск меняется в пределах от 13. 9 до 15. 6 без какого-то ни было намека на периодичность.

Изменения быстрые, доходящие до 0-3 за сутки.

#### Т-14, XZ ТЕЛЬЦА

Хочется обратить внимание на то, что если в 1961-1962 годах обе звезды имели небольшие колебання блеска в пределах не более чем 0.3-0.4, то в осенне-зимний период 1962-1963 годов амплитуда блеска XZ Тельца существенно изменилась (14.2-15.3).

Здесь же заметим, что до настоящего времени [9] пределы изменения блеска для нее были  $11^{\rm m}-14^{\rm m}$ .

Пределы изменения блеска у Т-14 Тельца невелики (15 m.4 — 15 m.7).

#### СПЗ 1357 ТЕЛЬЦА

Переменность блеска открыл Г.С. Бадалян [10]. Звездные величины звезд сравнения этой переменной нами уточнены и приведены в табл. 1. Фотографический блеск меняется в пределах от 14 % до 15 % 3. Согласно сообщению Хербига, эта звезда имеет сильную эмиссию в Н и является очень тесной двойной с расстоянием между компонентами 0".2, однако изменения ее блеска вряд ли объясняются

Таблица 2

24		RY Tau		BP Tau		ДЕ Таи	
<b>№</b> 1/π	J, D.	mpg	mpv	mpg	mpv	mpg	mpv
1 2 3 4 4 5 6 7 8 9 10 11 12 13 14 15 6 17 18 19 20 1 22 23 24 25 6 27 28 29 30 31 32 33 34 35 6 37	2437 530.481 531.460 557.457 558.456 562.490 563.490 563.490 569.590.569 590.569 591.579 632.203 637.305 638.504 640.297 732.244 882.493 883.504 913.502 913.543 915.538 916.476 932.406 933.379 940.497 943.497 943.497 943.497 943.497 943.497 943.497 943.497 943.497 940.313 961.379 962.399 963.397 963.397 963.399 963.399 963.497 969.333 989.295 990.267 990.299	11.81 11.92 	10.71 10.71 10.50 10.62 10.67 10.47 10.47 10.62 10.62 10.62 10.45 10.45 10.25 10.36 10.25 10.36 10.25 10.37 	13.08 13.05 — 13.02 12.94 12.65 12.55 12.75 12.85 12.75 12.32 12.49 12.60 12.63 13.13 13.24 12.69 12.58 12.95 12.72 12.69 12.58 12.95 12.72 12.69 12.58 12.72 12.69 12.58 12.72 12.69 12.58 12.72 12.69 12.58		14.55 14.50 14.55 14.50 14.55 14.50 14.52 13.90 14.02 14.05 14.23 14.29 14.23 14.29 14.23 14.29 14.30 14.22 14.30 14.22 14.30 14.22 14.30 14.32 14.49 14.30	12.9 12.8 13.0 12.7 12.8 12.8 12.8 12.8 12.8 12.8 12.8 12.8

двойственностью, т. к. если в 1961—1962 годах блеск звезды менялся относительно сильно, то в 1962—1963 годах изменения блеска были незначительными.

Поэтому следует предположить, что хотя бы одна из звезд этой пары — неправильная переменная типа RW Возничего.

Таблица 3

Ne.	L	тт	au	UX	Tau	GG	Tau
1/11	J. D.	mpg	m <sub>pv</sub>	mpg	mpv	mpg	mpv
1 2	2437 530.527 531,520	11.40 11.50	10.42 10.42	11.86	10.47 10.65	13.69	-
3 4	536.531	11.44	10.45	11.94	10.83	13.65	-
4	549.492	119	10.57	11.98	10.69	13.63	-
5	552.463 553.479	11.29	10.47	11.98 12.24	10.66	13.57	
7	554.483	11.47	10.53	12.39	10.87	13.61	12.4
8 9	559.433	11.47	10.39	12.53	10.57	13.66	12.3
0	562.524 563.539	11.56 11.56	10.48	12.35 13.18	10.72 11.47	13.58 13.62	12.3
1	579.490	11.56	10.40	12.27		13.53	-
2	584.5/3	11.56	10.42	11.79	10.55	13.59	12.3
3	586.527 588.507	11.56 11.37	10.41 10.34	11.63 12.09	10.57 10.72	13.71 13.76	12.4
5	590.532	11.37	10.34	11.90	10.72	13.71	12.4
6	591.538	11.42	10.35	11.90	10.52	13.72	12.3
7	620.542 632.243	11.52	10.44	12.69 12.32	11.25 10.75	13.64 13.56	$\begin{array}{ c c c c c c c c c c c c c c c c c c c$
9	637.258	11.60 11.56	10.57 10.39	11.79	10.73	13.88	12.2
0	638.294	11.47	10.47	11.79	10.55	13.66	12.3
2	640.254	11.47	10.39	12.09	10.66	13.78	12.4
3	698.257 720.257	11.61 11.53	10.46 10.45	12.47 12.43	11.31	13.76	12.4
11	721.188	11.42	-	12.50	_	14.06	
5	730.212	11.53		12.29	10.67	13.60	-
6	731.208 732.264	11.67 11.56	10.48 10.47	12.09 11.94	10.67 10.57	13.76	
8	915.498	11.63	10.44	12.38	10.86	13.53	_
9	916.524	11.56	10.46	12.46	10.92	13.67	12.3
0	916.561 932.458	11.48 11.53	10.46 10.51	12.47 12.01	11.00	13,40	12.2
2	932.510	11.53	10.11	12.01	10.65	13.43	12.2
3	933.458	11.54	10.40	12.03	10.60	13.61	12.2
5	934.410 934.451	11.41	10.34 10.49	12.83 12.93	11.42	13.42 13.47	12.3
6	934.491	11.51	10.42	12.96	11.40	13.46	12.5
7	934.535	11.46	10.39	12.92	11.34	13.33	12.
8	940.538	11.3)	10.42	11.97 12.51	10.67	13.54 13.65	12.3
0	943.542 961.427	11.41	10.37 10.33	12.84	10.59	13.66	12.4
1	962.448	11.48	10.38	12.52	11.15	13.57	12.
2	963.441	11.62	10.45	12.09	10.53	13.71	12.
3	989.344 990.34 I	11.51 11.37	10.39	13.55 13.72	12.10	13.57	12.
5	991.344	11.46	10.45	12.74	10.92	13.61	12.5
6	991.396	11.47	10.45	12.67	10.94	13.68	12.
7	991.438	11.51	10.39	12.58 12.55	10.85 10.81	13.70 13.66	12.2
8   9	941.456 992.524	11.49 11.50	10.49 10.53	13.48	12.16	13.52	12.3

Таблица 4

	mpg								
<b>№</b> п/п	J. D.	DM Tau	T-24 Tau	T-14 Tau	XZ Tau	СПЗ 1357 Таи			
1	2437 536.531	_	14.86	_	-	14.93			
	554.483	14.57	15.01	15.42	15.59	14.83			
3	559,433	15.2	14.22	15.5	15.38	14.83			
234567	562,524	15.25	14.72	15.38	15.38	14.83			
5	563.539	15.3	14.63	15.38	15.38	14.92			
6	579.4 0	15.30	14.55	15.7	15.27	15.17			
7	584.563	14.69	14.55	15.54	15.54	15.00			
8	586.527	14.85	15.01	15.42	15.49	14.71			
9	588.507	14.65	14.80	15.60	15.38	14.88			
10	590.532	15.20	15.04	15.60	15.38	14.74			
11	591.538	15.22	15.01 14.55	15.60 15.60	15.38	15.08			
12	620.542	15.2 15.2	14.22	15.00	10.00	10.00			
13	632.243	10.2	14.22			14.88			
14	637.258	15.20	14.69	15.52	15.65	15.40			
15	638.294 640.254	14.53	14.55	15.54	15.58	14.93			
16	720.257	14.85	14.35	15.38	15.38	14.83			
17	721.188	14.34	14.43	15.38	15.4	14.98			
18 19	730.212	14.36	14.47	15.38	15.50	15.26			
20	731.208	14.50	14.18	15.6	15.6	14.93			
21	732.264		15.01						
22	915.498		14.11	15.60	14.12	15.28			
23	916.524	15.3	14.38	15.36	14.63	15.25			
21	932,458	15.3	14.25	_	14.49	15.23			
25	932.510	15.3	14.30		14.57	15.20			
26	933,458	15.2	11,10	15.6	14.57	15.24			
27	934,410	15.07	14.27	15.6	15.06	- 15.31			
28	935. 451	15.06	14.12	15.6	15.04	15.13			
29	934.493	15.16	13.99	15.6	15.07	15.23			
30	9.14,535	15.06	13.92	15.6	15.06	15.29			
31	940.538	14.94	14.79	<del></del>	15.24	15.15			
32	943.542	14.59	14.63	15.35	15.30	15.13			
33	961.427	15.08	14.83	15.49	14.91	15.07			
34	962.448	15.28	14.38	15.40	14.88	15.21			
35	963.441	15.12	14.33	15.47	14.66	15.09			
36	589.314	15.25	14.42	15.45	14.28	14.94			
37	990.344	15.03	14.47	15.45	14.36	15.19			
38	991.344	14.55	14.16	15.62	14.32	15.25			
39	991.396	15.15	14.19	15.53	14.41	15.11			
40	991.438	15.14	14.19	15.6	14.41	15.12			
41	991.486	15.21	14.18	15.61	14.47	15.22			
42	992.524	15.04	14.49	15.52	14.49	15.19			

## Выводы

В настоящей работе была сделана попытка выявить отдельные характерные черты кривых блеска переменных

Таблица 5

<b>№</b> п/п	J. D.	FM Tau	CW Tau	CY Tau	DD Tau	CX Tau	FP Tau
1 2 3 4 4 5 6 7 8 9 10 11 12 13 14 15 16 17 18 19 20 21 22 23 24 25 26 27	2437 530.481 531.460 558.456 562.490 563.490 632.203 647.305 638.504 613.502 913.543 915.455 915.455 915.455 916.476 932.406 933.379 940.497 943.497 961.379 962.399 963.497 989.295 990.299 991.299 994.276	15 01 14.77 15.01 14.72 14.67 14.72 14.87 15.18 15.23 15.02 14.87 15.28 15.54 14.76 14.93 14.54 15.15 15.08 15.51 15.48 14.81 15.00 14.83 15.49	14.42 14.0 14.42 15.42 15.0 — — 15.37 14.22 14.32 15.11 15.22 15.38 15.12 14.89 15.8 — 14.73 14.82 14.37 14.37 14.37 14.37 14.37	14.8 14.90 15.11 15.02 14.8 14.71 14.4 14.8 14.65 14.70 14.61 14.72 14.79 14.98 14.67 14.66 15.04 14.16 14.74 14.67 14.74 14.94 15.07 15.21 14.58	15.47 15.28 15.47 15.28 15.60 15.54 15.49 15.13 15.04 15.18 15.58 15.53 14.73 15.22 15.25 14.94 15.26	15.05 15.05 15.05 15.30 15.4 15.23 15.23 15.24 15.27 15.25 15.24 15.25 15.24 15.25 15.25 15.25 15.25 15.25 15.25 15.25	15.40 15.6 15.40 15.18 15.4 15.36 15.29 15.47 15.49 15.31 15.27 15.36 15.47 15.40 15.47 15.32 15.35 15.35 15.35 15.34

типа RW Возничего. Несмотря на большое разнообразие кривых блеска отдельных переменных, можно огметигь 12-которые общие особенности:

- 1. Блеск исследованных переменных меняется созершенно неправильно. Однако скорость изменений блеска у различных переменных оказалась разной. Если у ряда звезд заметные изменения происходят за несколько часов (DD Тельца), то у других для этого требуются дни, недели (BP, FM, CW, CY, T-24, XZ Тельца) и даже годы (T, GG Тельца (см. рис. 10, 11).
- 2. Из сопоставления полученых нами результатов с данными упомянутых в тексге авторов видно, что характер

изменений блеска отдельной звезды может радикально меняться время от времени. Поэтому сказанное в пункте 1 в применении к конкретным звездам верно лишь для определенного интервала времени.

- 3. Звездам этого типа присущи длинные периоды стабильности, когда блеск звезды остается почти постоянным в течение продолжительного времени, как, например, Т и
- GG Тельца.
- 4. Из 6 переменных, изученных нами в двух лучах, 3 показали хорошую корреляцию между изменениями блеска в фогографических и в фотовизуальных лучах (RY, UX, ВР Тельца) О двух ничего определенного сказать нельзя, так как колебания их блеска очень малы (Т и GG Тельца). DE Тельца показывает слабую корреляцию.

#### 2. U. PUPULBUL, I. V. BRUUSHAU

## RW ԿԱՌԱՎԱՐԻ ՏԻՊԻ 17 ՓՈՓՈԽԱԿԱՆՆԵՐԻ ԵՐԿԳՈՒՅՆԱՆԻ ԳԻՏՈՒՄՆԵՐ

## Ամփոփում

Նկատելի է, որ այդ աստղերի պայծառությունը փոփոխվում է անկանոն և տարբեր արագությամբ։

Որոշ աստղերի, ինչպես օրինակ T և GG Ցուլի պայժառությունը երկար ժաժանակ գրեթե քնում են հաստատուն, իսկ DD ավելի մեծ հետաքրությունը փոփոխվում է մի քանի ժամում, որն

գրուլի չամար՝ Թուլլ։ Տրիրը ցույց են տալիս, որ RY, UX և BP Ցուլի աստղերի լուսաները ցույց են տալիս, որ RY, UX և BP Ցուլի աստղերի վոները ցույց են տալիս, որ RY, UX և BP ֆուլի աստղերի լուսաները համար հրական աստղանան հրականիս, իսկ DE

#### H. S. BADALIAN, L. K. ERASTOVA

## TWO-COLOR OBSERVATIONS OF 17 RW AUR TYPE VARIABLES

### Summary

The results of two-color observations of seventeen RW Aur type variables are given. The observations are done with 6" double camera of Byurakan Observatory.

A summary of characteristics of variations of brightnesses and colors of each investigated star is presented.

It is remarkable that the brightnesses of these stars change very irregular and with different speeds.

The brightnesses of some stars, for example T and GG Tau, remain almost constant for a long time. On the contrary, the brightness of DD Tau varies in few hours. The obtained data show a strong correlation between photographic and photovisual light-variations of RY, BP, UX stars. The same correlation for DE Tau is weak.

#### ЛИТЕРАТУРА

- 1. L. Binnendijk, Ann. to Leiden, XIX, 2, 1946.
- 2. Г. С. Бадалин, Сообщения Бюраканской обсерватории, 25, 49, 1958.
- 3. П. Н. Холопов, ГІЗ 8, № 2, 1951.
- 4. G. H. Herbig, Ap. J., 133, 337, 1961
- 5. П Н. Холопов, ПЗ 13, № 6, 1961.
- 6. W. Götz, VSS, 5, 2, 1961.
- 7. A. Joy, Ap. J., 102, 168, 1945.
- 8. G. Haro, B. Irlarte, E. Chavira, TTB, 8, 3, 1953.
- 9. H. Hoffmeister, AN, 278, 24, 1949.
- 10. Г. С. Бадалян, Астрономический циркуляр, № 230, 1962.

e the came a cape of A .. . X . 4 . MA . J print of the same d'ac d'ac With the state of And a suffer of the state of th at the state of th -12-5-6-1 - 1-15-5-1 - 1-15-5-1 - 1-15-5-1 - 1-15-5-1 - 1-15-5-1 - 1-15-5-1 - 1-15-5-1 - 1-15-5-1 - 1-15-5-1 -

#### Г. С. Бадалян

## ИССЛЕДОВАНИЕ НЕКОТОРЫХ НЕПРАВИЛЬНЫХ ПЕРЕМЕННЫХ ТИПА RW ВОЗНИЧЕГО

В настоящей работе рассматриваются некоторые характеристики изменений блеска и цвета ряда неправильных переменных типа RW Возничего, которые расположены в темном облаке созвездия Тельца. Методика паблюдений и обработки материалов изложена в [1].

Мы остановимся на обсуждении результатов, полученных для звезд: DG, DF, T-12 и T-10 Тельца.

#### DG ТЕЛЬЦА

Переменность этой звезды открыли П. Н. Холопов и Н. Е. Курочкин [2]. П. Н. Холопов сделал 47 оценок блеска в фотографических лучах. Звездные величины изменялись в пределах 14<sup>т.</sup>9 — 15<sup>т.</sup>8. За время 2434 979.448—2436 930.326 J. D. мы произвели на 6" двойном астрографе 69 наблюдений, из которых 32—в фотографических и 37—в фотовизуальных лучах, причем 25 пар негативов получены параллельно в двух лучах.

Кроме того, в течение от 2436 923.358 по 2437 277.208 J. D., мы получили 85 оценок блеска в фотографических и 49—в фотовизуальных лучах по наблюдениям, выполненным на 21″ телескопе системы Шмидта. Обычно в каждую ночь эти наблюдения в двух лучах делались последовательно.

По нашим наблюдениям звездная величина в фотографических и фотовизуальных лучах изменялась в пределах 11.50—13.80 и 10.45—11.35 соответственно. Показагель цвета изменяется от 0.5 до 2.0.

По наблюдениям в двух лучах, сделанным в основном во второй половине 1960 г., были построены кривые блеска (рис. 1). Из них видно, что в фотографических лучах наблю-

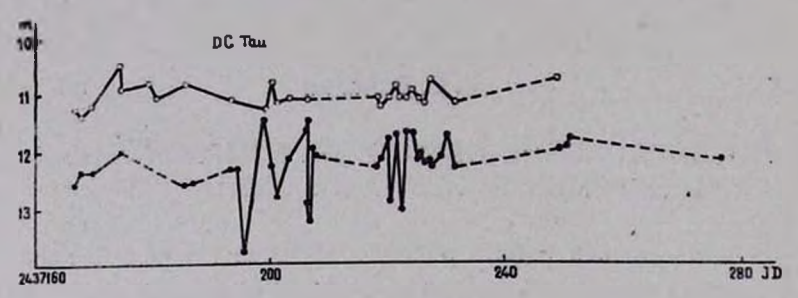
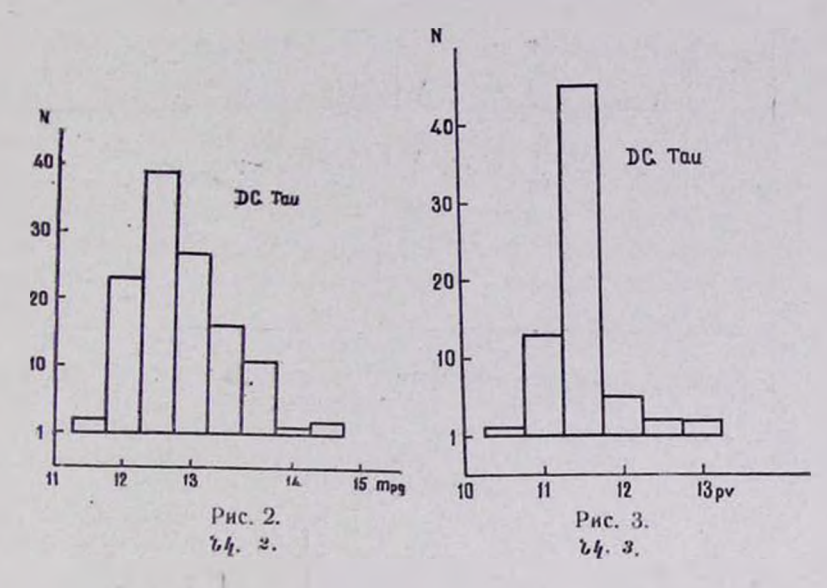


Рис. 1. • — Изменения блеска в фотографических лучах. ○ — Изменения блеска в фотовизуальных лучах.

Նկ. 1. ● — Պայծառուբիյան փոփոխությունները լուսանկարչական ճառադայթներում C — պայծառության փոփոխությունները լուսատեսողական ճառագայթներում:

даются довольно сильные колебания блеска, происходящие за короткие промежутки времени, в то время как в фотовизуальных лучах изменений блеска почти не заметно. Характер изменений блеска у этой звезды в фотографических лучах несомненно связан с процессами непрерывной эмиссии. Рядом с DG Тельца расположена довольно яркая светлая туманность, в пределах которой находится и FX Тельца, переменность которой открыл Гётц. FX Тельца—двойная звезда и, по-видимому, слабый компонент ее тоже переменный, потому что на некоторых негативах он виден, а на других нет даже его следа; звездная величина спутника определена у нас ненадежно.

Поскольку для DG Тельца имеется довольно много наблюдений (117—в фотографических лучах и 86—в фотовизуальных), мы нашли целесообразным построить диаграммы зависимости между звездной величиной и числом наблюдений: они представлены на рис. 2—3. Из этих диаграмм видно, что чаще всего встречаются звездные величины 12.5 и 11.5 в фотографических и фотовизуальных лучах соответственно.

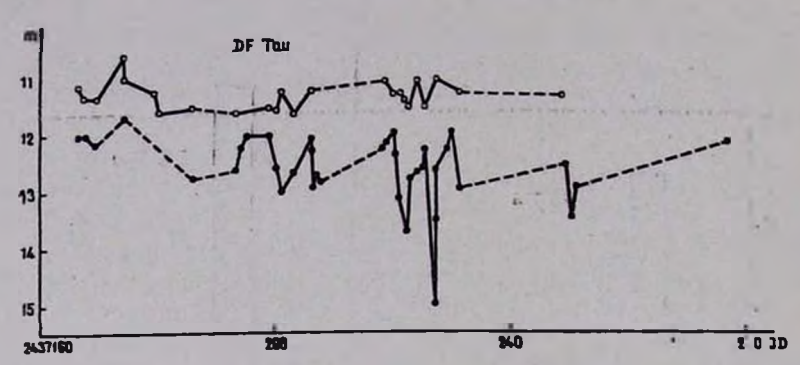


DF ТЕЛЬЦА

Переменность этой звезды открыли П. Н. Холопов и Н. Е. Курочкии. П. Н. Холопов сделал 47 оценок блеска в фотографических лучах, и оказалось, что звездная величина изменялась от 11.9 до 15.8.

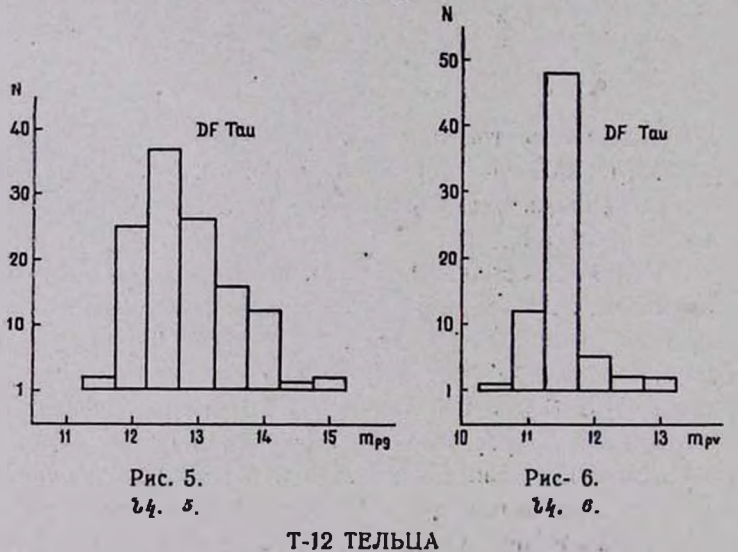
По нашим наблюдениям, полученным в разные эпохи в фотографических и фотовизуальных лучах, изменения происходят в интервалах 11 70—15 0 и 11 12—13 54 соответственно. Отношение фотографической амплитуды изменения блеска к фотовизуальной оказалось 1.4. До настоящего времени произведено всего 168 наблюдений в фотографических и 89—в фотовизуальных лучах. На основании наших последних наблюдений, выполненных за сравнительно короткое время, построены кривые блеска (рис. 4). Из этих кривых видно, что колебания блеска сравнительно сильны в фотографических лучах, а в фотовизуальных—незначительны. Иногда изменения блеска в обоих лучах происходят параллельно.

На рис. 5 и 6 приведены зависимости между звездной величиной и частотой наблюдений, которые показывают, что в фотографических лучах максимум встречаемости около 12 ... 5, а в фотовизуальных—около 11 ... 5.



 Изменения блеска в фотографических лучах. О — Изме-Рис. 4. нения блеска в фотовизуальных лучах.

Նկ. ժ. ● -- Գայծառության փոփոխությունները լուսանկարչական ճառադայթներուժ, 0 – պայծառության փոփոխությունները լուսատեսողական ճառաղայ թե և բում :



О переменности этой звезды подозревал Гётц [3]. По его оценке изменения в фотографических лучах происходили в интервале 15 <sup>m</sup>9-16 <sup>m</sup>5. Эту звезду мы наблюдали последовательно в фотографических и фотовизуальных лучах.

Произведена 21 оценка блеска в фотографических и 17 в фотовизуальных лучах. Наши наблюдения подтверждают ее переменность. По нашим оценкам изменения звездной величины в фотографических и фотовизуальных лучах соответственно происходили в интервалах: 15 ° 06 — 17 ° 50 и 15 ° 20 — 15 ° 55. Здесь интересно отметить, что изменения блеска в фотовизуальных лучах мало заметны (амплитуда равна всего 0 ° 35), а в фотографических лучах изменения блеска значительны: амплитуда равна 2 ° 4. Это говорит в пользу того, что изменения блеска в фотографических лучах происходят благодаря процессам непрерывной эмиссии в коротковолновой части спектра.

На рис. 7 приведены кривые блеска в обоих лучах. Особый интерес представляет тот факт, что в течение одних суток

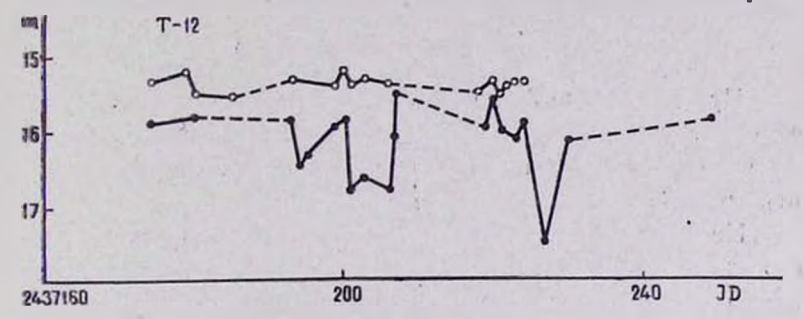


Рис. 7. • — Изменения блеска к фотографических лучах. 0 — Изменения блеска в фотовизуальных лучах. 24. 7. • — Чыздыкт. Руш և փոփոխու Рупւն և իրը լու иш- նկարչական հառագայ թենրում, 0 — պայдыкт. Руш փոփոխու Рупс ներում:

наблюдалось изменение блеска на 1 75.

Можно предполагать, что изменения блеска в фотографической части спектра носят характер вспышек.

Интересно отметить, что в спектре этой звезды, полученном с объективной призмой на метровом телескопе Бюраканской обсерватории (на пластинках Kodak Oa-F), не видно эмиссиопной линии H<sub>4</sub> в том случае, когда в спектре многих других звезд, имеющих близкие звездные величины, эта линия корошо видна. Возможно, что колебания блеска в красных лучах малы именно вследствие отсутствия линии H<sub>2</sub>.

Карта окрестностей Т-12 Тельца с указанием звезд сравнения дается на рис. 8, а в табл. 1 даны звездные величины звезд сравнения.

. 5	
f •α Fz •b	⊛—T-12 c —●

- 11				Таблица
Звезда	mpg	mpv		
	15.80	15.31		
В	15.85	15.30		
e	15.90	15.35		
d	15.95	15.60		
e	16.00	_		
f	17.50	-		

Рис. 8. %4. 8.

Т-10 ТЕЛЬЦА

При обработке фотоснимков, полученных в Бюраканской обсерватории в течение 1960—1963 гг. в фотографических и в фотовизуальных лучах, было обнаружено, что звезда является переменной.

Наличие эмиссии в Н<sub>в</sub> у нее впервые обнаружили Аро и его коллеги [4]. Нами произведено 18 оценок блеска в фотографических лучах и 30 в фотовизуальных. Полученные результаты показывают, что в обеих областях спектра изменения блеска почти параллельны, но есть случаи, когда изменения блеска сильны в фотовизуальных лучах, а в фотографических почти не заметны.

Изменения фотографической звездной величины происходили в пределах 15 . 65 — 17 . 50, а фотовизуальной — 13 . 70 — 15 . 50. На некоторых негативах в фотографических лучах звезда не видна.

На рис. 9 представлены кривые блеска в обоих лучах. Весьма интересно отметить, что в течение промежутка времени от 2437 220 до 2437 297 J. D. Т-10 Тельца в фотовизуальных лучах имела очень сильные колебания блеска. Из кривой блеска видно, что в вышеуказанном промежутке времени имели место два максимума и три минимума.

Изменения показателей цвета этой звезды приходятся на интервал от 0.00 до 3.00 для тех случаев, когда няблюде-

ния произведены в двух лучах последовательно. Фотографическая и фотовизуальная амплитуды почти одинаковы.

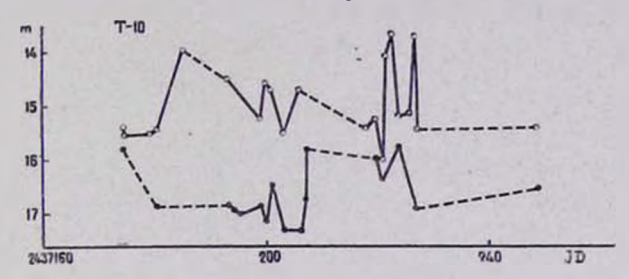


Рис. 9. • — Изменения блеска в фотографических лучах. ○ — Изменения блеска в фотовизуальных лучах.

Նի, 9, ● — Գայծառու Բյան փոփոխու Բյունները լուսանկարչական ճառադայիքներում, 6 — պայծառու Բյան փոփոխու Բյունները լուսատեսողական ճառագայիներում:

Звезда расположена в наиболее темной части темного облака Тельца. Характер изменения блеска и цвета показывает, что звезда несомненно принадлежит к типу. Т Тельца. Карта окрестностей этой звезды с указанием звезд сравнения представлена на рис. 10, звездные величины звезд сравнения— в табл. 2.

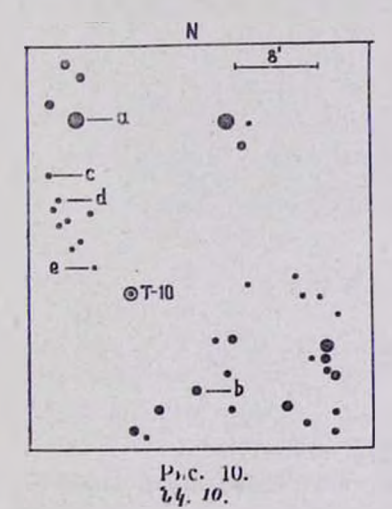


	Таблица 2	
Звезда	mpg	mpv
a B C d e	13.66 14.70 14.85 16.55 17.50	11.58 12.86 13.90 ————————————————————————————————————

#### Հ. Մ. ԲԱԴԱԼՅԱՆ

## RW ԿԱՌԱՎԱՐԻ ՏԻՊԻ ՄԻ ՔԱՆԻ ԱՆԿԱՆՈՆ ՓՈՓՈԽԱԿԱՆՆԵՐԻ ՀԵՏԱԶՈՏՈՒԹՅՈՒՆ~

#### Udhnhnid

Ներկա աշխատան,քում երկգուլնանի դիտումների միջոցով հետաղոտված են մի խումբ RW կառավարի տիպի աստղեր, որոնք բաշխված են Ցուլի համաստեղության մութ ամպի տիրուլթում։

Մեր դիտունեերի միջոցով հայտնարերված է, որ T – 10 8ուլի աստղը փոփոխական է և հաստատված է T – 12 8ուլի աստղի փո-

փոխական լինելը։

Ստացված արդյունւքների հիման վրա կառուցված են այդ աստղերի պայծառության փոփոխման կորևրը լուսանկարչական ե լուսատևսողական ճառագալթնևրում (նկ. 1, 4, 7 և 9)։

#### H. S. BADALIAN

# AN INVESTIGATION OF SOME IRREGULAR VARIABLES OF RW AUR TYPE

## Summary

Some RW Aur type stars found in the Taurus dark regions are investigated by two-color observations. It is found that T-10 Tau is a variable star and the variability of T-12 Tau is confirmed. The photographic and photovisual light curves of the investigated stars are given.

#### ЛИТЕРАТУРА

<sup>1.</sup> Г. С. Бадалян, Сообщения Бюраканской обсерватории, 31, 57, 1962.

<sup>2.</sup> П. Г. Холопов, ПЗ 8, № 2, 1951.

<sup>3.</sup> W. Gots. VSS, 5, 2, 1961.

<sup>4.</sup> G. Haro, B. Iriarte, E. Chavira, TTB, N. 8, 3, 1953.

## Г. М. Товмасян

# КОЛЬЦЕВОЙ РАДИОТЕЛЕСКОП С ВЫСОКОЙ РАЗРЕШАЮЩЕЙ СИЛОЙ

Современный этап развития радиоастрономии требует применения радиотелескопов со все большей чувствительностью и разрешающей силой. Достижение же этих целей сопряжено обычно с непомерным увеличением размеров и стоимости антени радиотелескопов. Конструкции больших раднотелескопов особенно усложняются из-за необходимости их подвижности для обзора возможно большей части неба. Для радиотелескопов дециметрового и сантиметрового диапазона длин волн конструктивные трудности усугубляются еще необходимостью соблюдения больших точностей поверхности зеркала и установки облучателя в его фокусе при различных положениях радиотелескопа. В целях упрощения антенных систем и снижения их стоимости в основном идут по пути уменьшения размеров подвижных частей или же ограничения движения больших конструкций (антенна переменного профиля, крестообразная антенна, апертурный синтез, двухзеркальная антенна с неподвижной сферической чашей в качестве главного отражателя, параболоид с вращением только по одной координате, антенна Краусса и т. д.).

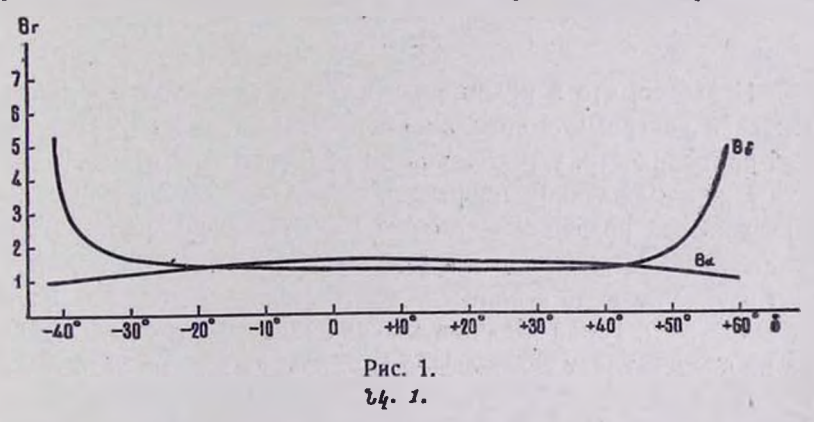
В настоящей работе предлагается новая антенная система—двухзеркальный кольцевой радиотелескоп, имеющий высокую эффективную разрешающую силу при значительной простоте и дешевизне конструкции. Главным зеркалом радиотелескопа является установленное на горизонтальной поверхности сферическое кольцо большого диаметра D и небольшой ширины. Нормаль к поверхности кольца составляет небольшой угол  $\gamma$  (порядка  $8^{\circ}$ — $10^{\circ}$ ) с горизонтом. Кольцо может

быть составлено из небольших независимых элементов и потому относительная точность его установки будет определяться геодезическими методами, обеспечивающими точность до  $10^{-6}$  [1].

Передвижение второго, корректирующего зеркала по фокальной линии главного зеркала, представляющей окружность с диаметром, равным приблизительно D/2, позволяет вести прием из направлений с постоянной высотой (углом места) h и различными азимутами. Обзор неба производится в широком интервале склонений, равном 180°-2 = пля  $\phi$  >h, где  $\phi$  —географическая широта места расположения радиотелескопа. Ведя прием лучей, наклоненных к поверхности зеркала под углом, равным или несколько большим т. можно расположить второе зеркало непосредственно на земле. Тогда высота h, на которой ведутся наблюдения, будет равна или несколько больше 2 ү. Второе зеркало при этом полжно быть спроектировано с учетом устранения аберраций. Низкое расположение корректирующего зеркала позволяет просто передвигать его по кольцевому рельсовому пути с помощью невысокой тележки. Механические натяжения малого зеркала будут, очевидно, постоянными при всех его положениях, что существенно облегчает и упрощает его конструкцию. При наблюдениях на всех азимутах будет постоянна и форма диаграммы направленности, которая, очевидно, является ножевой.

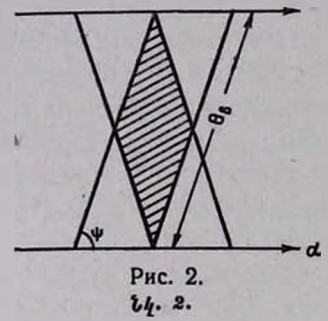
При раскрыве корректирующего зеркала в горизонтальном направлении, равном  $0.07-0.1\ D$ , можно облучать часть кольца с раскрывом порядка 0.6-0.7 от диаметра кольца D [2] и, тем самым, иметь очень узкую горизонтальную диаграмму направленности  $\theta_r$ . (При  $D=1\kappa M$   $\theta_r=1'$  на длине волны 10 см). Длина «ножа»—вертикальная диаграмма направленности радиотелескопа  $\theta_{\rm B}-$  будет определяться шириной колца a (порядка  $10-100\ M$ ). Раскрыв корректирующего зеркала в вертикальном направлении порядка нескольких метров, поскольку для облучения (в ближней зоне) небольшой ширины кольца может быть использован узкий горизонтальный разрез обычного корректирующего зеркала двухзеркальной антенны.

При φ ≠ 0° «нож» диаграммы радиотелескопа располагается под некоторым углом у к направлению суточного движения наблюдаемых объектов, определяемым выражением  $\cos \psi = \cos \left( 90 \pm \delta \right) \ \sin A$ , где A—азимут наблюдения. Поэтому одиночное наблюдение не позволяет реализовать разрешающую силу, соответствующую узкой горизонтальной лиаграмме направленности радиотелескопа. Исключение составляют наблюдения в меридиане, когда с большой точностью можно определять только прямые восхождения дискретных радиоисточников. Однако обе координаты наблюдаемых дискретных радиоисточников будут измерены с точностью, соответствующей  $\theta_{r}$ , если исследуемую область пронаблюдать дважды на симметричных относительно меридиана азимутах. Тогда как прямое восхождение, так и склонение радиоисточника определятся по разнице между расчетным и наблюдаемым звездным временем второго прохождения. Поскольку угол у для заданных ф и h зависит от склонения & то разрешающая сила радиотелескопа будет различна для различных склонений. На рис. 1 для случая  $\varphi = 40^\circ$  приведена



эффективная разрешающая сила кольцевого радиотелескопа по обеим координатам. Из рисунка следуст, что, за исключением двух полос склонений, шириной приблизительно в 10° у северного и южного краев обозреваемой радиотелескопом области неба, эффективная разрешающая сила кольцевого радиотелескопа по обеим координатам соответствует в среднем

1.5  $\theta$ , и, следовательно, эквивалентна разрешающей силе параболического радиотелескопа с диаметром, равным 0.4—0.5 от диаметра кольца. Причем одна серия наблюдений позволяет измерить координаты радиоисточников во всей полосе, вырезаемой на небе длинной стороной «ножа». При одной серии наблюдений не будут однозначно определены координаты двух или более радиоисточников с равной интенсивностью, одновременно попадающие в область с площадью  $\theta^2$  cos²  $\psi/4$  (см. рис. 2). Для решения задачи необходимо будет провести дополнительные наблюдения на несколько отличных склонениях, т. е. при несколько других азимутах второго зеркала.



Известно, что в целом ряде случаев при наблюдениях с ножевой диаграммой возможно и восстановление распределения радиояркости, усредненной по областям  $\theta_{\rm r}/2$  [3, 4].

При наблюдениях, например, на волне 10 см для реализации высокой разрешающей силы кольцевого радиотелескопа необходимо устанавливать и удерживать в заданном положении второе зеркало в процессе всего наблюдения с точностью до около 2 см. Такая задача в случае кольцевого радиотелескопа не представляет технической трудности и решается просто, без применения дорогостоящей автоматики. Точность установки второго зеркала не зависит от диаметра кольца, поскольку изменению диаграммы направленности при этом соответствует эквивалентное изменение длины приходящегося на единицу угла рельсового пути. Из-за очень малого относительного отверстия зеркала, достигающего 1:50, можно будет немного передвигать по вертикали второе зеркало без существенных изменений диаграммы направленности радиотеле-

скопа. Это позволит проводить в некоторых пределах и сопровождение наблюдаемой области неба. Так, в случае радиотелескопа с диаметром кольца в 1 км, расположенного на широте ф=40°, радиоисточники у южного предела обозреваемой области неба могут сопровождаться в течение около двух часов, у северного предела—около одного часа. Наименьшее время—порядка 10 минут, могут сопровождаться источники с азимутом около 90°. Для такого сопровождения необходимо будет перемещать по вертикали второе зеркало менее чем на 1 м. При этом оно уйдет из фокуса всего на 1.5 см, что находится в пределах допустимых ошибок его установки.

Помимо высокой эффективной разрешающей силы и очевидной простоты и относительной дешевизны, кольцевой радиотелескоп обладает еще и следующим очень важным преимуществом. На рельсовых путях можно установить до 20 корректиурющих зеркал и, тем самым, одновременно и независимо вести наблюдения во многих направлениях и на различных волнах. Добавление каждого небольшого корректирующего зеркала в кольцевом радиотелескопе означает по сути дела получение нового независимого радиотелескопа с большой эффективной разрешающей силой.

Низкое расположение корректирующего зеркала позволит без каких-либо затруднений применять мазеры с холодильными установками.

Немаловажным преимуществом является и то обстоятельство, что, в отличие от радиотелескопов других типов, строительство кольцевого радиотелескопа можно вести по частям без ущерба для наблюдений. Построив часть отражающей поверхности кольца, уже можно, независимо от продолжения строительства, вести наблюдения в некоторой полосе склонений с расширением последней до максимального значения по мере введения в строй новых частей кольца.

Таким образом, кольцевой радиотелескоп, обладающий простотой и дешевизной конструкции и эксплуатации и высокой разрешающей силой, имеет много преимуществ по сравнению с известными конструкциями радиоастрономических радиотелескопов с идентичными по площади отражающими поверхностями.

#### Հ. Մ. ԹՈՎՄԱՍՅԱՆ

## ՄԵԾ ԼՈՒԾԻՉ ՈՒԺ ՈՒՆԵՑՈՂ ՕՂԱԿԱՉԵՎ ՌԱԳԻՈԳԻՏԱԿ

### Udhnhnid

Տեղակալելով մի քարի բերևում չայրներ (եզևով միրչև 20) Հարդակալելով մի քարի բերևում չայրներ կատաեր և կարոր

ատևերև աւժմաւնվացրրևավ։

Օղակաձև ռադիոդիտակի վրա դիտումները կարող են սկսվել (սահմանափակ տիրուլթում) դեռ մինչև գլխավոր հայելու կառուց-

#### H. M. TOVMASSIAN

### A RING RADIO TELESCOPE WITH A HIGH RESOLVING POWER

## Summary

The proposed simple and cheap radio telescope, named ring radio telescope, is a two-mirror aerial system. The main mirror is a stationary, horizontally mounted spherical ring of large diameter D (several km) and height of about  $100\ m$  or less, the surface of which is inclined a little to the horizon. The secondary small mirror, the height of which is only several

metres, is placed on the ground and can be mooved on a circular railway track along the focal line of the main mirror. The observations can be made at the same constant elevation in a wide range of declanations, equal to  $180^{\circ}-2\phi$  where  $\phi$  is the geographical latitude of the radio telescope. The narrow horizontal beam of the ring radio telescope is determined by the illuminated aperture of the main mirror equal to 0.6D.

By mounting several secondary mirrors (up to 20) on the railway track it is possible to make quite independent simultaneous observations in many different directions.

The observations in a limited part of the sky may be commenced without finishing the full construction of the main ring mirror.

#### ЛИТЕРАТУРА

- 1. Ф. Н. Красовский, Руководство по высшей геодезии, 102, 1926, М.-Л.
- 2. П. М. Геруни, Радиотехника и электроника, 9, 3, 1964.
- 3. R. N. Bracewell, Aust. J. Ph., 9, 198, 1956.
- 4. Ю. Н. Парийский, С. Э. Хайкин, Известия ГАО, 21, № 164, 27, 1960.

## 

	4.5
Մ. Ա. Ղազարյան— <i>Երեր դիֆֆուդ միդամածությունների լուսաչափա</i> - կան ուսուժնասիրություն	3
Գ. Ա. Գուրգադյան, Մ. Ա. Ղազարյան—Մի թանի ժոլորակաձև ժիղամա-	
ծությունների էմիսիոն դծերի ինտենսիվությունները Ա. Տ. Քալլողլյան, Հ. Մ. Թովմասյան— Ձողիկավոր դալակտիկաների կո-	23
րիզներ	31
Գ. Ա. Գուրզադյան, Հ. Ս. Չավուշյան – Ձորս թույլ Վոլֆ-Ռայև աստ- դերի էմիսիոն գծերի ինտենսիվությունները	43
Հ. Ս. Բաղուլյան, Լ. Կ. Երաստովա—RW Կառավարի տիպի 17 փոփո-	
խականների երկղույնանի դիտումներ	35
Հ. Ս. Ռադալյան	
կանների հետաղոտություն · · · · · · · · · · · · · · · · · · ·	71
Հ. Մ. Թովմասյան—Մեծ լուծիչ ուժ ունեցող օղակաձև ռադիողիտակ .	79
CONTENTS	
	Page
M. A. Kazarian—The photometric investigation of three diffuse	
nebulae · · · · · · · · · · · · · · · · · · ·	3
G. A. Gurzadian, M. A. Kazarian—The intensites of the emission	
lines of some planetary nebulae · · · · · · · · · · · · · · · · · · ·	23
A. T. Kalloglian, II. M. Toumassian-The nuclea of barred galaxies	31
G. A. Gurzadian, H. S. Tchawushlan—The emission line intensities	4.50
for four faint Wolf—Rayet stars · · · · · · · · · · · · · · · · · · ·	45
H. S. Badalian, L. K. Erastova—Two-color observations of 17 RW  Aur type variables · · · · · · · · · · · · · · · · · · ·	55
H. S. Badalian—An investigation of some irregular variables of RW	00
Aur type · · · · · · · · · · · · · · · · · · ·	71
H. M. Toumassian—A ring radio telescope with a high resolving	
power	79

